

## Spatial variability modeling and geostatistical estimation of coefficients of some water infiltration equations in calcareous soil of Bajgah, Shiraz

Mohammad Omidifard<sup>1</sup>, Seyed Ali Akbar Moosavi<sup>2\*</sup>, Abdolmajid Sameni<sup>3</sup>

<sup>1</sup> Former M.Sc. Student, Department of Soil Science, College of Agriculture, Shiraz University, Shiraz, Iran

<sup>2</sup> Professor, Department of Soil Science, College of Agriculture, Shiraz University, Shiraz, Iran

<sup>3</sup> Associate Professor, Department of Soil Science, College of Agriculture, Shiraz University, Shiraz, Iran

### Abstract

#### Introduction

Water infiltration into soil is one of the most important soil physical processes for hydrological and agricultural applications. It plays a key role in hydrological studies, water resource management, soil conservation, irrigation systems, drainage systems, and soil erosion control in watersheds. There are various equations for determining how water infiltrates into the soil. Some of these (e.g., Philip and Green-Ampt equations) are based on the physical properties of the soil and the results of solving the relationships governing water flow in the soil. The others (e.g., Kostiakov, Kostiakov-Lewis, Horton, and US Soil Conservation Service equations) are empirical relationships obtained from analyzing the curve between infiltration rate and time without any physical background. Using these relationships avoids the waste of time and high cost required to measure infiltration in the field, especially on a large scale. The coefficients of these equations, like other soil characteristics, depend on the soil type and conditions and are subject to spatial and temporal variations. Therefore, this research aimed to study the spatial variability and model of the spatial dependence of the coefficients of different theoretical and empirical infiltration equations in the calcareous soils of Bajgah, Shiraz.

#### Materials and Methods

Infiltration tests were carried out at 50 points of the studied soil using the single-ring method. Different infiltration equations, including Horton, Kostiakov, Kostiakov-Lewis, US soil conservation service (SCS), Green-Ampt, and Philip equations were fitted to the measured data, and the coefficients of the equations were determined. Preliminary statistical checks included determining the summary statistic (measure of location, measure of spread, and shape parameters of data distribution), checking the normality of the distribution of the infiltration coefficients data, and performing necessary transformations if required. To check the spatial dependency of the data, the experimental semivariogram of the data was calculated. Various theoretical models, including spherical, exponential, and Gaussian models, were fitted and the best semivariogram model and its characteristics were determined using statistical criteria. Coefficients at unmeasured points were also estimated using the normal kriging method and the inverse distance weighting (IDW) method with different weight powers. The evaluation of the estimation methods was also carried out using the jack-knife method and the appropriate estimation method was identified. Estimation of the coefficients at points without data and zoning was done using the appropriate estimation method. The statistical and geostatistical analyses mentioned above were carried out using the software packages Excel and GS<sup>+</sup>.

#### Results and Discussion

The coefficient of variation (CV) of the studied infiltration equation coefficients varied between 12.5 and 478%, with the highest and lowest CV for the coefficients "A" of the Kostiakov-Lewis equation and "b" of the SCS equation. The isotropic spherical model was the best-fitted model to the semivariogram of the coefficients of the Kostiakov (K and b), Horton (c, m, and a), Philip ("A"), and Kostiakov-Lewis (b') equations. Whereas, the isotropic exponential model was the best-fitted model to the coefficients of the SCS (a and b), Philip ("S"), and Kostiakov-Lewis (K and A) equations. The range of variation (the radius of influence) of the coefficients of the infiltration equations varied from 1.96 to 211 m, respectively, for the "K" coefficient of the Kostiakov equation

and the coefficients of the Kostiakov-Lewis, "a" of Horton, "S" of Philip, and "b" of SCS equations. Among the coefficients studied, the highest and lowest nugget effect ( $C_0$ ) to threshold ( $C+C_0$ ) ratio was obtained as 0.648 and 0.5, respectively. The spatial correlation class of the infiltration equation coefficients was moderate, and the maximum and minimum radius of influence were 211 and 6.4 m, respectively, which corresponded to the "S" coefficient of Philip, the coefficients of Kostiakov-Lewis, the "a" coefficient of Horton, and the "b" coefficient of the SCS equations. The most precise and the least precise estimates were related to the "A" coefficient of Philip, "b" of Kostiakov, and "b" of Kostiakov-Lewis equations, respectively.

### Conclusion

In this study, spatial variations of the coefficient of various infiltration relations were investigated and modeled, and estimation and zoning were performed using the best model. Results showed that the spatial dependence class of the coefficient of infiltration relations in the study area is medium, and also, the maximum and minimum radius of influence of 211 and 6.4 m are related to the coefficient  $S$  of the Philip and the coefficients of the Kostiakov-Lewis and the coefficient  $a$  of Horton and the coefficient  $b$  of the US Soil Conservation Service equations, respectively. In other words, this study suggests geostatistical methods and limited measurements to estimate the coefficients of the infiltration equations with reasonable precision and to save time and cost when zoning or estimating these coefficients at large scales. However, due to the weak and unsuitable spatial structure, the IDW method outperformed the kriging method in some cases in the studied area and its use can lead to more precise estimates. Therefore, in cases where the spatial structure of the desired feature is weak and inappropriate, methods such as Kriging that rely on strong spatial correlation are unsuitable, and in these cases, other alternative estimation methods, such as IDW which does not depend on the presence of strong and appropriate spatial structure in the data should be used.

**Keywords:** Inverse distance weighting, Kriging, Isotropy, Sorptivity coefficient, Spatial variability, Variogram, Zoning

**Article Type:** Research Article

### Acknowledgment

The authors thank Shiraz University for providing all the required facilities.

### Conflicts of interest

There is no conflict of interest.

### Data availability statement

All generated data are included in the article. Further datasets are available upon a reasonable request to the corresponding author.

### Authors' contribution

**Mohammad Omidifard:** Experiments, data analysis and interpretation, article writing and editing; **Seyed Ali Akbar Moosavi:** Idea and experimental design, project supervision, data analysis and interpretation, materials/analysis tools, and article writing and editing; **Abdolmajid Sameni:** Idea and experimental design, materials, article editing.

\*Corresponding Author, E-mail: aamousavi@gmail.com

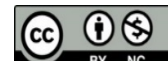
**Citation:** Omidifard, M., Moosavi, S.A.A., & Sameni, A. (2024). Spatial variability modeling and geostatistical estimation of coefficients of some water infiltration equations in calcareous soil of Bajgah, Shiraz. *Water and Soil Management and Modeling*, 4(4), 131-150.

DOI:10.22098/mmws.2023.13324.1325

Received: 17 July 2023, Received in revised form: 30 August 2023, Accepted: 31 August 2023, Published online: 31 August 2023  
*Water and Soil Management and Modeling*, Year 2024, Vol. 4, No. 4, pp. 131-150

Publisher: University of Mohaghegh Ardabili

© Author(s)





# مدل سازی و مدیریت آب و خاک

شایا الکترونیکی: ۲۵۴۶-۲۷۸۳



## مدل سازی تغییرات مکانی و تخمین زمین‌آماری ضریب‌های برخی رابطه‌های نفوذ آب در خاک آهکی منطقه باجگاه، شیراز

محمد امیدی‌فرد<sup>۱</sup>، سید علی‌اکبر موسوی<sup>۲\*</sup>، عبدالمحیجی ثامنی<sup>۳</sup>

<sup>۱</sup> دانش آموخته کارشناسی ارشد، گروه علوم خاک، دانشکده کشاورزی، دانشگاه شیراز، شیراز، ایران

<sup>۲</sup> استاد، گروه علوم خاک، دانشکده کشاورزی، دانشگاه شیراز، شیراز، ایران

<sup>۳</sup> دانشیار، گروه علوم خاک، دانشکده کشاورزی، دانشگاه شیراز، شیراز، ایران

### چکیده

نفوذ از فرآیندهای فیزیکی مهم خاک است که معمولاً با رابطه‌های نفوذ بررسی می‌شود. ضریب‌های این رابطه‌ها تحت تأثیر ویژگی‌های خاک هستند. ویژگی‌های خاک و ضریب رابطه‌های نفوذ دارای تغییرات مکانی هستند. بنابراین، با هدف مدل سازی وابستگی ضریب رابطه‌های نفوذ در خاک‌های آهکی منطقه باجگاه استان فارس، آزمایش‌های نفوذ در نقطه با روش تک حلقه انجام و رابطه‌های کوستیاکوف-لویز، هورتون، هولتان، سازمان حفاظت خاک آمریکا (SCS)، فیلیپ و گرین-امپت به داده‌ها برآش و ضریب‌های آن‌ها تعیین شد. نیم‌تغییرنامی تحریب محاسبه و مدل سازی و بهترین مدل تعیین شد. تخمین در نقاط اندازه‌گیری نشده با روش‌های کربیجنگ معمولی و وزن‌دهی عکس فاصله (IDW) انجام و با ارزیابی جکنایف روش مناسب شناسایی و تخمین و پهنگ‌بندی انجام شد. بیشترین مدل (درصد) مقدار ضریب تغییرات بهترین مربوط به ضریب‌های 'A' رابطه کوستیاکوف-لویز و 'b' رابطه SCS بود. بهترین مدل نیم‌تغییرنامی ضریب رابطه‌های کوستیاکوف (K) و (b) هورتون (c)، ضریب‌های A، فیلیپ، b کوستیاکوف-لویز از نوع کروی همسانگرد بود، درحالی که بهترین مدل ضریب‌های رابطه SCS ("a") و ("b")، ضریب‌های S رابطه فیلیپ و 'K' و 'A' رابطه کوستیاکوف-لویز، نمایی همسانگرد بود. دامنه تغییرات شاعر تأثیر بین ۹۶/۱ تا ۲۱۱ متر متغیر بود. بیشترین نسبت اثر قطعه‌ای به سقف به مقدار ۶۴۸/۰ مربوط به ضریب 'a' رابطه SCS و کمترین نسبت اثر قطعه‌ای به سقف برابر ۵/۰ بود. کلاس وابستگی مکانی ضریب رابطه‌های نفوذ متوسط و بیشترین و کمترین شاعر تأثیر بهترین ۲۱۱ و ۴/۶ متر بود. دقیق‌ترین و کم دقت‌ترین تخمین‌ها بهترین مربوط به ضریب A رابطه فیلیپ و 'b' رابطه کوستیاکوف-لویز بود. در مواردی که به پهنگ‌بندی ضریب رابطه‌های نفوذ و یا مقادیر این ضریب‌ها در نقاط زیاد نیاز باشد با استفاده از روش‌های زمین‌آماری و اندازه‌گیری‌های محدود، ضریب‌هایی با دقت قابل قبول برآورد و در وقت و هزینه‌ها صرفه‌جویی می‌شود. در مواردی بهدلیل ساختار مکانی ضعیف، روش IDW در مقایسه با روش کربیجنگ مناسب‌تر بوده و به تخمین‌های دقیق‌تری منجر می‌شود. بنابراین، پیشنهاد می‌شود در شرایط ساختار مکانی ضعیف، از روش‌های منکی به همبستگی مکانی قوی (کربیجنگ) استفاده نشود و از روش‌هایی مانند IDW استفاده شود.

**واژه‌های کلیدی:** پهنگ‌بندی، تغییرنامه، ضریب جذب آب خاک، کربیجنگ، وزن‌دهی عکس فاصله، همسانگردی

### نوع مقاله: پژوهشی

\*مسئول مکاتبات، پست الکترونیکی: aamousavi@gmail.com

استناد: امیدی‌فرد، محمد، موسوی، سید علی‌اکبر، و ثامنی، عبدالمحیجی (۱۴۰۳). مدل سازی تغییرات مکانی و تخمین زمین‌آماری ضریب‌های برخی رابطه‌های نفوذ آب در خاک آهکی منطقه باجگاه، شیراز. مدل سازی و مدیریت آب و خاک، ۱۴۰۲، ۱۴۰۲/۰۶/۰۸، ۱۴۰۲/۰۶/۰۹، تاریخ پذیرش: ۱۴۰۲/۰۶/۰۹، تاریخ انتشار: ۱۴۰۲/۰۶/۰۹.

DOI: 10.22098/mmws.2023.13324.1325

تاریخ دریافت: ۱۴۰۲/۰۶/۰۸، تاریخ بازنگری: ۱۴۰۲/۰۶/۰۸، تاریخ پذیرش: ۱۴۰۲/۰۶/۰۹، تاریخ انتشار: ۱۴۰۲/۰۶/۰۹

مدل سازی و مدیریت آب و خاک، سال ۱۴۰۳، دوره ۴، شماره ۴، صفحه ۱۳۱ تا ۱۵۰

ناشر: دانشگاه محقق اردبیلی © نویسنده‌گان



## ۱- مقدمه

انتقال املاح، مواد شیمیایی و کودها در خاک مؤثر هستند. به دلیل تغییرات مکانی و زمانی این ضریب‌های نفوذ مانند سایر Moosavi and Sepaskhah, 2012; ویژگی‌های خاک ( ) Moosavi et al., 2016; Moradi et al., 2016; Zahedifar et al., 2017; Rezaee et al., 2020a,b; Fakher and Nazari, 2022; Kamangar and Minaei, 2023) استفاده از روش‌های آماری قطعی کلاسیک برای توصیف آن‌ها بهترهایی کارا نیست. بنابراین برای توصیف دقیق این ضریب‌ها بایستی از مدل‌های تصادفی (مدل‌های زمین‌آماری) به همراه آمار کلاسیک استفاده شود (Moosavi and Sepaskhah, 2011).

## جدول ۱- شرح مدل‌های نفوذ مورد بررسی

Table 1- Description of the studied infiltration models

رابطه	ضریب	مدل
$I = Kfs t + G \ln [1+I/G]$	G و Kfs	گرین و آمپت
$I = S \sqrt{t} + At$	A و S	فلیپ
$I = Kt b$	b و K	کوستیاکوف
$I = K'tb' + A't$	A' و b'، K'	کوستیاکوف-لویز
$I = Ct + m(1-e^{-at})$	a و m، C	هورتون
$I = a''tb'' + 0.6985$	b'' و a''	SCS

بدترتب زمان بر حسب دقیقه و نفوذ تجمعی بر حسب ساعتی متر است.  
SCS: مدل سازمان حفاظت خاک آمریکا است.

ضریب A رابطه فلیپ میاری از هدایت هیدرولیکی اشباع خاک است.

یکی از روش‌های متداول در برآورد ویژگی‌های فیزیکی خاک، روش‌های زمین‌آماری است که با استفاده از الگوی تغییرات مکانی ویژگی‌های خاک، این ضریب‌ها را در نقاط نمونه‌برداری نشده تخمین می‌زنند. تغییرات مکانی نفوذپذیری خاک متأثر از ویژگی‌های ذاتی خاک از قبیل نوع خاک و توزیع اندازه منافذ و ویژگی‌های غیرذاتی مانند عبور و مرور وسایل نقلیه، کشت و کار است. چگونگی تأثیر این عوامل بر ضریب رابطه‌های نفوذ آب به خاک از منطقه‌ای به منطقه‌ای دیگر متفاوت است (Ghorbani et al., 2010). مشابه با سایر ویژگی‌های فیزیک‌شیمیایی و کیفیت خاک، ویژگی‌های هیدرولیکی و زیستی خاک، تغییر کاربری اراضی نیز یکی از عوامل مؤثر بر نفوذ آب به خاک است (Bakhshandeh, 2019; Mozaffari et al., 2021; Sharma et al., 2022; Zahedifar, 2023a,b) (1989). تغییرپذیری مکانی ضریب‌های مدل فلیپ را در شبکه‌های منظم  $1 \times 1$  و  $100 \times 100$  متر بررسی کردند و نشان دادند ضریب‌های مدل فلیپ از همبستگی مکانی بسیار ضعیفی برخوردار بوده‌اند. در پژوهشی، Sepaskhah et al. (2005) ساختار مکانی ضریب جذب آب خاک را در فاصله‌های  $0.5 \times 0.5$  متر و پنج در پنج متر بررسی کردند و نشان دادند که تنها در صورت نمونه‌برداری در فاصله‌های  $0.5$  متر، ضریب جذب آب خاک در مدل فلیپ دارای

نفوذ آب یکی از مهم‌ترین فرآیندهای فیزیکی خاک در ارتباط با مسائل کشاورزی و هیدرولوژی است. ورود آب به داخل خاک را نفوذ و مقدار آبی که در یک دوره زمانی مشخص در خاک نفوذ می‌کند نفوذ تجمعی و میانگین سرعت وارد شدن آب به داخل خاک را طی یک دوره زمانی، متوسط سرعت نفوذ و سرعت نفوذ آب به داخل خاک را در یک لحظه معین از زمان، سرعت نفوذ لحظه‌ای می‌گویند (Alizadeh, 2015). سرعت وارد شدن آب به خاک یا به عبارت دیگر سرعت نفوذ از عوامل مهم در طراحی سامانه‌های آبیاری، مطالعات هیدرولوژی، مدیریت منابع آب و حفاظت خاک و طراحی و اجرای طرح‌های زهکشی و کنترل فرایش خاک در حوزه‌های آبخیز است. انتخاب نوع سیستم آبیاری برای هر منطقه به ویژگی‌های نفوذ آب به داخل خاک بستگی دارد. به عبارتی، نفوذ آب به خاک فرآیندی مهم در علوم خاک، آبیاری، هیدرولوژی، کشاورزی و محیط زیست بوده (Valiantzas, 2010) و نقش حیاتی در چرخه آبی طبیعت ایفا می‌کند. شناخت کمی نفوذپذیری برای جلوگیری از فرایش Ghorbani Dashtaki (et al., 2010; Jafarzadeh and Vayskarami, 2022

رابطه‌های مختلفی برای تعیین چگونگی نفوذ آب به خاک وجود دارد که برخی از آن‌ها بر مبنای ویژگی‌های فیزیکی خاک و حاصل حل رابطه‌های حاکم بر جریان آب در خاک هستند و برخی دیگر رابطه‌هایی هستند که بر اساس ترسیم منحنی بین سرعت نفوذ و زمان تحلیل شده‌اند و ویژگی‌های فیزیکی به خصوصی از خاک را در بر نمی‌گیرند (Alizadeh, 2015). با به کارگیری این رابطه‌ها از اتفاق وقت و صرف هزینه زیاد که برای اندازه‌گیری نفوذ در مزرعه به‌ویژه در سطح وسیع لازم است، جلوگیری می‌شود. به طور کلی رابطه‌های نفوذ به دو دسته تقسیم می‌شوند دسته اول رابطه‌های تجربی که شامل رابطه‌های هورتون (Horton, 1940)، هولتان (Holtan, 1961)، کوستیاکوف (Kostiakov, 1932)، Mezencev (1948) و سازمان حفاظت خاک آمریکا، USDA-NRCS (1974) هستند. دسته دوم رابطه‌های تئوری و شامل رابطه‌های Green (1957) and Philip (1957) است (جدول ۱).

نفوذ آب به خاک همانند دیگر ویژگی‌های هیدرولیکی خاک بسته به نوع و شرایط خاک، دارای تغییرات مکانی و زمانی هستند و انتظار می‌رود تغییرپذیری و الگوی نفوذ آب به خاک در خاک‌های مختلف، متفاوت باشد (Bouma, 1983; Sameni et al., 2014, 2016). ضریب رابطه‌های نفوذ بر بسیاری از فرآیندهای خاک از جمله نفوذ آب به خاک، جریان آب در خاک،

<sup>1</sup> Infiltration

(Dahak et al., 2022) انجام شده است ولی تاکنون پژوهش مدونی در ارتباط با مدل‌سازی تغییرات مکانی ضریب رابطه‌های نفوذ بهویژه در خاک‌های آهکی انجام نشده است. بنابراین، این پژوهش با هدف بررسی و مدل‌سازی ساختار و ابستگی مکانی ضریب رابطه‌های مختلف نفوذ آب به خاک و تعیین بهترین مدل معرف ساختار مکانی آن‌ها و تعیین روش مناسب برای تخمین و پنهانه‌بندی ویژگی‌های مورد مطالعه در یک خاک آهکی در منطقه باجگاه واقع در استان فارس انجام شد.

## ۲- مواد و روش‌ها

پژوهش حاضر در خاک سری دانشکده با نام علمی Fine, Carbonatic, Mesic, Typic Calcixerpts تحقیقاتی دانشکده کشاورزی دانشگاه شیزار واقع در منطقه باجگاه در ارتفاع ۱۸۷۲ متری از سطح دریای آزاد و در محدوده ۵۲ درجه و ۳۲ دقیقهً شرقی و ۲۹ درجه و ۳۶ دقیقهً شمالی انجام شد. این خاک با مساحت ۷۴۵ هکتار جزء خاک‌های عمیق با رنگ قهوه‌ای متتمایل به زرد تا قهوه‌ای متتمایل به زرد روشن (قهوه‌ای آهکی) و بافت لومی تا رسی است که حدود یک پنجم از کل اراضی منطقه را تشکیل می‌دهد (Abtahi et al., 1992). در خاک مورد مطالعه ۵۰ نقطه با فاصله‌های ۱۶، هشت و چهار متر واقع بر الگوی نمونه‌برداری نسبتاً منظم انتخاب و ضریب رابطه‌های نفوذ (فیلیپ، کوستیاکوف، کوکریجینگ-لویز، هورتون و سازمان حفاظت خاک آمریکا) در آن‌ها با روش تک حلقه اندازه‌گیری شد (Reynolds and Elrick, 1990). بدين ترتیب که در شروع آزمایش در هر نقطه پس از کتاب زدن بقایای گیاهی، روی سطح زمین یک استوانه (به قطر ۶۰ سانتی‌متر) قرار داده شد و با استفاده از دریوش و وارد کردن ضربات غیرمستقیم چکش، استوانه تا عمق حدود ۱۰ سانتی‌متر در زمین فروبرده شد. در این پژوهش از ارتفاع آبی پنج سانتی‌متری در استوانه برای انجام آزمایش‌های نفوذ و تعیین ضریب‌های نفوذ استفاده شد (Reynolds and Elrick, 1990; Thomas et al., 2020). لازم به یادآوری است که در طول آزمایش، با افزودن آب به داخل استوانه، ارتفاع آب در داخل استوانه ثابت نگه داشته شد. مقدار آبی که در فاصله‌های زمانی مختلف به استوانه افزوده می‌شود، برابر با حجم آب نفوذ یافته به خاک است. سپس از تقسیم حجم آب نفوذ یافته به خاک بر مساحت استوانه ارتفاع آب نفوذ یافته به خاک یا I بددست می‌آید تا رسیدن به شرایط پایدار، زمان و حجم آب افزوده شده (نفوذ یافته) به خاک ثبت شد (Reynolds and Elrick, 1990).

سپس ضریب رابطه‌های نفوذ آب به خاک شامل رابطه‌های فیلیپ، کوستیاکوف، کوکریجینگ-لویز، هورتون و سازمان

ساختار مکانی خواهد بود. در پژوهش دیگری (Jensen et al. 1987) بیان کردند که شدت نفوذ بهدلیل تغییرات مکانی ویژگی‌های فیزیکی خاک مؤثر بر آن، می‌تواند از مقادیر خیلی کم تا خیلی زیاد تغییر کند. با توجه به این که تخمین شدت نفوذ و ضریب مدل‌های نفوذ در مقیاس ناحیه‌ای با صحت قابل قبول و با حداقل اندازه‌گیری صحرایی بسیار مهم است. تغییرات مکانی شدت نفوذ را می‌توان با روش‌های زمین‌آماری کمی نمود. افزون بر آن، در صورت وجود همبستگی زیاد بین ویژگی‌های زودیافت خاک و ضریب‌های نفوذ، می‌توان از این ویژگی‌ها به عنوان متغیر کمکی بهمنظور تخمین بهتر در مکان‌های نمونه‌برداری نشده بهره برد (Karami et al., 2012).

با توجه به پژوهش (Gupta et al. 1994) نتایج نشان داد که متغیرهای بافت، ساختمان خاک و برخی از خواص شیمیایی مانند کربن آلی می‌توانند بر فرآیند شدت نفوذ و پارامترهای Vieira et al. (1981) با ارزابی تغییرات مکانی شدت نفوذ، چگونگی استفاده از توابع همبستگی در تعیین حداقل تعداد نمونه لازم برای مطالعات شدت نفوذ را نشان دادند. با تلفیق روش‌های زمین‌آماری Alemi et al. (1988) خاک نشان دادند که استفاده از کوکریجینگ، برای تخمین هدایت هیدرولیکی، واریانس تخمین کمتری نسبت به روش کریجینگ داشت. در مطالعه‌ای، (Vauclin et al. 1983) گزارش کردند که تلفیق اندازه‌گیری‌های صحرایی نفوذسنج فشاری گلف با روش‌های زمین‌آماری، روشی کارآمد برای تعیین تغییرات مکانی هدایت هیدرولیکی اشاع در یک خاک لومی است. با استفاده از تعییر نمای دو جانبه، Mallants et al. (1997) ارتباط تغییرات مکانی هدایت هیدرولیکی اشاع با منافذ بزرگ را نشان دادند. همچنین، (Ersahin 2003) در مقایسه کریجینگ ساده و کوکریجینگ برای تخمین شدت نفوذ در مناطقی برای داده‌های محدود نشان دادند که روش کوکریجینگ بر کریجینگ ساده برتری داشته و در این بین جرم ویژه ظاهری خاک زیرین، مهم‌ترین متغیر کمکی برای پیش‌بینی شدت نفوذ بوده است. در نهایت، (Rumman et al. 2005) با تلفیق مدل‌های هیدرولوژی و GIS محدوده‌هایی با شدت نفوذ یکسان را در یک حوزه آبخیز تعیین نمودند.

پژوهش‌هایی در ارتباط با مدل‌سازی تغییرات مکانی نفوذ Govindaraju et al., 1996; Machiwal et al., 2006; Nie et al., 2017; Babaei et al., 2018; Ghosh and Pekkatt, 2019; Mahapatra et al., 2020; Oku and Aiyelari, 2011; Suryoputro et al., 2018; Vand et al., 2018; Lei et al., 2020; Thomas et al., 2020; Rasool et al., 2021;

$N(h)$  در رابطه (۲)،  $\gamma(h)$  مقدار نیم‌تغییرنما در فاصله  $h$  تعداد جفت نمونه به کار رفته در محاسبه  $\gamma(h)$  به ازای فاصله  $h$  و  $Z(x_i+h)$  به ترتیب مقادیر متغیر در موقعیت‌های نمونه‌برداری  $x_i+h$  است. رابطه‌های (۳)، (۴) و (۵) به ترتیب رابطه مدل کروی، نمایی و گوسی را نشان می‌دهد.

$$\gamma(h) = C_0 + C_1 \left( 1 - e^{-\frac{(h)}{a}} \right)^2 \quad (3)$$

$$\gamma(h) = C_0 + C_1 \left( 1 - e^{-\frac{h}{a}} \right) \quad (4)$$

$$\gamma(h) = C_0 + C_1 \left( 1 - e^{-\frac{(h)}{a}} \right)^2 \quad (5)$$

در رابطه‌های فوق  $C_0$  اثر قطعه‌ای،  $a$  دامنه تأثیر و  $C+C_0$  حد آستانه نیم‌تغییرنما است. با استفاده از ضریب‌های بهترین مدل نیم‌تغییرنما و روش‌های کریجینگ معمولی (رابطه ۶) و وزن‌دهی عکس فاصله (رابطه ۷) مقدار هر یک از ویژگی‌های مورد مطالعه در نقاط نمونه‌برداری نشده تخمین زده شد.

$$\begin{cases} \sum_{i=1}^n \lambda_i \gamma(x_i, x_i) + \mu = \gamma(x_0, x_0) \\ \sum_{i=1}^n \lambda_i = 1 \end{cases} \quad (6)$$

$$i = 1, \dots, n$$

$$Z^*(x_0) = \sum_{i=1}^n \lambda_i Z(x_i) \quad i = 1, \dots, n \quad (7)$$

در رابطه‌های  $Z^*(x_0)$  مقدار تخمین متغیر  $Z$  در موقعیت نمونه‌برداری نشده  $x_0$ ،  $Z(x_i)$  مقدار اندازه‌گیری شده متغیر  $Z$  در موقعیت  $x_i$ ،  $\lambda_i$  وزن اختصاص یافته به مقدار  $Z$  در موقعیت  $x_i$  و  $n$  تعداد کل نمونه‌ها است.

$$Z^*(x_0) = \frac{\sum_{i=1}^n \frac{1}{d_i} p Z(x_i)}{\sum_{i=1}^n \frac{1}{d_i} p} \quad i = 1, \dots, n \quad (8)$$

در این رابطه،  $d_i$  فاصله نقطه اندازه‌گیری شده آم تا نقطه مورد تخمین و  $p$  توان وزن‌دهی است. در این پژوهش توان‌های مختلف وزن‌دهی استفاده و نتایج تخمین حاصل ارزیابی شد.

با توجه به توانایی روش ارزیابی جکنایف (Stone, 1974) برای تبیین میزان خطا و معروفی تخمین‌گر مناسب، در این پژوهش به منظور انتخاب روش مناسب تخمین از روش ارزیابی جکنایف استفاده شد. به این ترتیب که در هر مرحله یک نقطه مشاهده‌ای حذف و با استفاده از سایر نقاط مشاهده‌ای، کمیت مورد مطالعه در آن نقطه برآورد شد. سپس این نقطه به مجموعه نقاط برگردانده و عملیات گفته شده برای تمام نقاط مشاهده‌ای تکرار شد به‌گونه‌ای که در انتهای به تعداد نقاط مشاهده‌ای، برآورد وجود داشت. در پایان با داشتن مقادیر واقعی و برآورد شده میزان

حفظات خاک آمریکا تعیین شدند. بهمنظور تعیین ضریب‌های مدل‌های مورد نظر،تابع هدف بهصورت رابطه (۱) تعریف شد (Ghorbani Dashtaki et al., 2009)

$$SSE = \sum_{i=1}^n (I(m)_i - I(p)_i)^2 \quad (1)$$

در رابطه بالا، SSE مجموع مربعات خطأ (سانتی‌متر مربع)،  $I(m)_i$  مقدار نفوذ تجمعی اندازه‌گیری شده در زمان  $z_i$  (سانتی‌متر)،  $I(p)_i$  مقدار نفوذ تجمعی برآورد شده برای زمان  $z_i$  (سانتی‌متر) و  $n$  تعداد مقایسه‌ها است. ضریب مدل‌های مورد بررسی با حداقل قرار دادن مقدار تابع هدف (SSE) و بهمنظور در نظر گرفتن بهترین برازش بین مقادیر برآورد شده و مقادیر اندازه‌گیری شده با استفاده از برنامه Solver در نرم‌افزار اکسل تعیین شد.

پس از پیش‌پردازش آماری داده‌ها و محاسبه آماره‌های مرکزی (حداقل، حداکثر و میانگین)، آماره‌های پراکنش (ضریب تغییرات) و آماره‌های شکل توزیع (ضریب‌های چولگی و افراشتگی) داده‌ای مریبوط به ضریب رابطه‌های نفوذ، نرمال بودن توزیع داده‌ها با آزمون کولموگروف-اسمیرنوف و با استفاده از نرم‌افزار SPSS بررسی و توزیع داده‌های غیرنرمال با تبدیل‌های مناسب به توزیع نرمال تبدیل شد. پس از بررسی وجود یا عدم وجود روند در داده‌ای اندازه‌گیری شده، بهمنظور تحلیل همبستگی مکانی بین ضریب‌های نفوذ مورد مطالعه در نقاط اندازه‌گیری شده، ابتدا با استفاده از نرم‌افزار GS<sup>5.1</sup> نیم‌تغییرنما مسطحاتی<sup>۱</sup> برای هر یک از ضریب‌های رابطه‌های نفوذ تعیین و ناهمسانگردی موجود در پیوستگی مکانی داده‌ای Iqbal et al., 2005; Moosavi and Sepaskhah, 2012. سپس نیم‌تغییرنما آزمایشی (تجربی) هر ویژگی با استفاده از رابطه (۲) محاسبه شد و مدل‌های مختلف نظری شامل مدل‌های کروی، نمایی و گوسی (رابطه‌های ۳، ۴ و ۵) به آن‌ها برازش داده شد. با در نظر گرفتن معیارهای بیشترین ضریب تعیین ( $R^2$ ) و کمترین مجموع مربعات باقی‌مانده (RSS) بهترین مدل انتخاب و ضریب‌های آن (دامنه تأثیر، اثر قطعه‌ای و سقف) تعیین شد. دامنه تأثیر فاصله‌ای است که در آن نیم‌تغییرنما ثابت می‌شود و به سقف می‌رسد. اثر قطعه‌ای کمترین مقدار نیم‌تغییرنما و نشان‌دهنده ناپیوستگی نیم‌تغییرنما در نزدیکی مبدأ مختصات بوده و سقف (آستانه) حداقل مقدار نیم‌تغییرنما است (Iqbal et al., 2005).

$$\gamma(h)^* = \frac{1}{2N(h)} \left\{ \sum_{i=1}^{N(h)} [Z(x_i) - Z(x_i + h)]^2 \right\} \quad (2)$$

<sup>۱</sup> Surface variogram

دو نقطه مجاور و با فاصله کم از یکدیگر، تفاوت قابل توجهی وجود داشته باشد. همچنین، در پژوهش Moosavi and Sepaskhah (2012) کلاس تغییرپذیری ویژگی‌های هیدرولیکی مورد مطالعه (هدایت هیدرولیکی و ضربی جذب آب خاک اندازه‌گیری شده در مکش‌های مختلف) را متوسط تا زیاد گزارش کردند. در پژوهش دیگری، (Moosavi and Omidifard 2016) نیز کلاس تغییرپذیری هدایت هیدرولیکی اشباع در شرایط مزروعه را متوسط ولی برای سایر ویژگی‌ها کم گزارش کردند.

چولگی ضربی رابطه‌های نفوذ مورد مطالعه در محدوده ۶/۸۳ تا ۳/۴۵ - قرار داشت به طوری که بیشترین و کمترین مقدار چولگی به ترتیب مربوط به ضربی‌های b رابطه کوستیاکوف و "b" رابطه کوستیاکوف-لوییز بود. بیشترین و کمترین افزاشتگی منحنی توزیع داده‌ها در بین ضربی‌های رابطه‌های نفوذ مورد مطالعه به ترتیب مربوط به ضربی b رابطه کوستیاکوف و ضربی جذب آب به خاک (S رابطه فیلیپ) بود که نشان‌دهنده نزدیک بودن منحنی توزیع داده‌های ضربی جذب آب به خاک به منحنی توزیع نرمال است. در حالی که منحنی توزیع داده‌های مربوط به ضربی b رابطه کوستیاکوف نسبت به سایر ضربی‌های نفوذ مورد توزیع داده‌های این ضربی و سایر ضربی‌هایی که به طور معنادار (در سطح پنج درصد) از توزیع نرمال انحراف داشتند با استفاده از تبدیل‌های مختلف از جمله تبدیل کاکس باکس تا حد امکان به توزیع نرمال نزدیک شدند. جدول ۳ ویژگی‌های آماری داده‌های مربوط به ضربی رابطه‌های نفوذ اندازه‌گیری شده را پس از تبدیل توزیع داده‌ها به توزیع نرمال نشان می‌دهد. نتایج نشان داد تبدیل‌های مذکور علاوه بر کاهش چولگی و افزاشتگی ضربی رابطه‌های کوستیاکوف، کوستیاکوف-لوییز، سازمان حفاظت خاک آمریکا و ضربی‌های C و m رابطه هورتون و بهبود وضعیت نرمال بودن داده‌ها، تغییرپذیری ضربی‌های K'، m و a را از زیاد به متوسط، تغییرپذیری ضربی A' را از زیاد به کم و تغییرپذیری ضربی K را از متوسط به کم کاهش داده است. در پژوهش‌های دیگری از جمله پژوهش Karami et al. (2012) میانگین ضربی K رابطه کوستیاکوف، ضربی b رابطه کوستیاکوف، ضربی S رابطه فیلیپ و ضربی A رابطه فیلیپ را به ترتیب ضربی را از ۰/۹۲، ۰/۶۲، ۰/۷۴ و ۰/۸۹۶ گزارش کردند که تا حدود زیادی با نتایج این پژوهش همخوانی دارد. همچنین، در ارتباط با ضربی‌های مورد مطالعه به ترتیب ضربی چولگی را ۰/۰۲، ۱/۵ و ۱/۹۳، ضربی افزاشتگی را ۱/۱۲، ۰/۸۱، ۰/۲۹ و ۰/۱۹ و ۱/۵۴ ضربی تغییرات را ۰/۵۵، ۱/۱ و ۰/۵۵ و ۰/۹۱ درصد و تغییرپذیری ضربی‌های مذکور را به ترتیب زیاد، کم، زیاد و زیاد گزارش کردند. این نتایج تا حدود زیادی با نتایج پژوهش حاضر

خطا و انحراف روش تخمین استفاده شده با محاسبه شاخص‌های آماری کنترل اعتبار نظریه ضربی تعیین ( $R^2$ )، میانگین خطای باقی‌مانده (MRE)، میانگین مربعات خطأ (MSE)، ریشه میانگین مربعات خطای نرمال شده (NRMSE) و میانگین هندسی نسبت خطأ (GMER) تعیین و نقشه‌های هم مقدار با استفاده از نتایج روش مناسب تخمین ترسیم شد.

### ۳- نتایج و بحث

#### ۳-۱- ویژگی‌های آماری

جدول ۲ ویژگی‌های آماری داده‌های مربوط به ضربی رابطه‌های نفوذ اندازه‌گیری شده را قبل از تبدیل توزیع داده‌ها به توزیع نرمال نشان می‌دهد. نتایج نشان داد که میانگین ضربی A رابطه فیلیپ به مقدار ۰/۰۸۷ سانتی‌متر بر دقیقه بوده است. بنابراین، خاک مورد مطالعه بر اساس درجه‌بندی Klute (1965) در کلاس زهکشی متوسط تا نسبتاً سریع قرار دارد. از آن جا که ضربی A رابطه فیلیپ معیاری از هدایت هیدرولیکی اشباع خاک است در این پژوهش نیز میانگین این ضربی حدود ۲۵ درصد میانگین هدایت هیدرولیکی اشباع خاک است. در این راستا، Gupta et al. (2006) و Youngs (1968) ضربی A رابطه فیلیپ ۶۴ درصد هدایت هیدرولیکی اشباع خاک بوده که تا حدود زیادی با یافته‌های این پژوهش مطابقت دارد. همچنین، در پژوهشی (Rawls et al. 1992) نشان دادند که مقدار ضربی A رابطه فیلیپ در زمان‌های طولانی مدت از فرآیند نفوذ می‌تواند معادل هدایت هیدرولیکی اشباع خاک باشد.

ضربی تغییرات ضربی رابطه‌های نفوذ مورد مطالعه در محدوده ۱۲/۵ تا ۴۷۸ درصد متغیر بوده است، به طوری که بیشترین و کمترین ضربی تغییرات به ترتیب مربوط به ضربی‌های A' رابطه کوستیاکوف-لوییز و b' رابطه سازمان حفاظت خاک آمریکا بود که نشان می‌دهد ضربی b' کمترین تغییرپذیری را داشته در حالی که ضربی A' بیشترین تغییرپذیری را نشان داد. تغییرات و در نتیجه ضربی تغییرات ضربی A' رابطه کوستیاکوف-لوییز به دلیل زیاد بودن مقدار انحراف میانگین (داده‌ها از میانگین) و در عین حال کم بودن مقدار میانگین، در مقایسه با سایر ضربی‌های به طور قابل توجهی بیشتر بود که ممکن است به دلیل وابستگی این ویژگی به ویژگی‌های با تغییرپذیری زیاد مانند جرم مخصوص ظاهری و رطوبت خاک (Karami et al., 2012) باشد. به طور کلی، در بین ویژگی‌های مختلف خاک، ویژگی‌های فیزیکی، هیدرولیکی و نفوذ و بهویژه ویژگی‌های هیدرولیکی و نفوذ در شرایط طبیعی و ناهمگن خاک دارای تغییرات بسیار بیشتری نسبت به سایر ویژگی‌هایی شبیه‌سازی یا زیستی هستند و حتی ممکن است بین مقادیر این ویژگی‌ها در

برای ضریب‌های C رابطه هورتون و<sup>a</sup> رابطه سازمان حفاظت خاک آمریکا متغیر بود. در مطالعه (2012) Karami et al. نیز سقف برای ضریب‌های S و A و رابطه فیلیپ و ضریب‌های K و b رابطه کوستیاکوف بهترتب ۰/۰۲۷۹، ۰/۰۲۳۰، ۰/۰۱۰ است. در ادامه، نتایج نشان داد کمترین اثر قطعه‌ای در بین ضریب رابطه‌های نفوذ مورد مطالعه به مقدار ۰/۰۰۰۵ مربوط به ضریب C رابطه هورتون است که نشان می‌دهد واریانس نسبی و حجم نمونه‌برداری برای آشکار کردن ساختارهای مکانی آن مناسب بوده است. در حالی که بیشترین اثر قطعه‌ای به مقدار ۰/۴ مربوط به ضریب "a" رابطه سازمان حفاظت خاک آمریکا بود که بیان‌گر واریانس تصادفی قوی در یک فاصله کوتاه است که می‌تواند ناشی از خطاهای نمونه‌برداری، اندازه‌گیری و وجود تغییرات کوتاه‌دامنه ویژگی مورد مطالعه در فاصله‌های کوچک‌تر از کوتاه‌ترین فاصله نمونه‌برداری باشد. نتایج مطالعه (2012) Karami et al. نیز بیان‌گر اثر قطعه‌ای برای ضریب‌های S و A رابطه فیلیپ و ضریب‌های K و b رابطه کوستیاکوف بهترتب ۰/۰۱۱، ۰/۰۰۹ مربوط به ضریب Moosavi and Omidifard (2016) نیز اثر قطعه‌ای و درصد اثر قطعه‌ای را برای مدل کروی همسان‌گرد برازش داده شده به نیم‌تغییرنامی ضریب جذب آب در خاک مورد مطالعه بهترتب ۰/۰۰۰۱، ۰/۰۵۰ درصد گزارش کردند. از طرفی نتایج نشان داد کمترین شاعع تأثیر در بین ضریب رابطه‌های نفوذ مورد مطالعه به مقدار ۹۶ متر مربوط به ضریب K رابطه کوستیاکوف بود که نشان می‌دهد ضریب K رابطه کوستیاکوف در یک نقطه می‌تواند تا ۹۶ متر بر نقاط اندازه‌گیری محاجور تأثیر داشته باشد. به عبارتی کمترین واستگی مکانی مربوط به ضریب K رابطه کوستیاکوف است. بنابراین برای این ویژگی می‌توان فاصله نمونه‌برداری را حدود ۱۰۰ متر در نظر گرفت چون با افزایش دامنه تأثیر فاصله‌های نمونه‌برداری افزایش یافته و تعداد نمونه‌های لازم و در نتیجه هزینه‌های لازم کمتر می‌شود. دامنه تغییرات شاعع تأثیر ضریب رابطه‌های نفوذ مطالعه بین ۹۶/۱ تا ۲۱۱ متر بهترتب برای ضریب K رابطه کوستیاکوف و ضریب‌های Rابطه کوستیاکوف بهترتب ۰/۰۱۶۵، ۰/۰۷۱۰، ۰/۰۳۲۳ و ۰/۰۱۴۴ متر است. در پژوهشی که Moosavi and Omidifard (2016) انجام دادند اثر شاعع تأثیر را برای مدل کروی همسان‌گرد برازش داده شده به نیم‌تغییرنامی ضریب جذب آب در خاک مورد مطالعه بهترتب ۰/۰۱۰ متر گزارش کردند. همچنین، با توجه به پژوهش Moosavi and Sepaskhah (2012) کارش کردن که شاعع تأثیر برای ضریب‌های S و A رابطه فیلیپ و ضریب‌های K و b رابطه کوستیاکوف بهترتب ۰/۰۱۶۵، ۰/۰۷۱۰، ۰/۰۳۲۳ و ۰/۰۱۴۴ متر است. در پژوهشی که Moosavi and Sepaskhah (2012) انجام دادند اثر شاعع تأثیر را برای مدل کروی همسان‌گرد برازش داده شده به نیم‌تغییرنامی ضریب جذب آب در خاک مورد مطالعه بهترتب ۰/۰۱۰ متر گزارش کردند. همچنین، با توجه به پژوهش

همخوانی ندارد که احتمالاً می‌تواند به دلیل تفاوت در فاصله‌های نمونه‌برداری و نوع خاک‌های مورد مطالعه باشد.

### ۳-۲- تغییرات مکانی و مدل‌سازی وابستگی مکانی

نتایج مربوط به ضریب‌های (دامنه تأثیر، اثر قطعه‌ای و سقف) بهترین مدل برازش داده شده به نیم‌تغییرنامی مربوط به ضریب رابطه‌های نفوذ مورد مطالعه که دارای توزیع نرمال بودند یا توزیع آن‌ها با تبدیل مناسب به توزیع نرمال نزدیک شده بود (جدول‌های ۲ و ۳)، در جدول ۴ نشان داده شده است. مطابق نتایج، بهترین مدل برازش داده شده به نیم‌تغییرنامی ضریب رابطه کوستیاکوف (K و b)، ضریب‌های رابطه کوستیاکوف-Lovizaz (a)، ضریب‌های Rابطه فیلیپ،' b' رابطه کوستیاکوف-Lovizaz از نوع کروی همسان‌گرد بوده است. در حالی که بهترین مدل برازش داده شده به ضریب‌های رابطه سازمان حفاظت خاک آمریکا ("a") و "b")، ضریب‌های S رابطه فیلیپ و K' و A' رابطه کوستیاکوف-Lovizaz از نوع نمایی همسان‌گرد بود. در پژوهشی که انجام دادند بهترین مدل برازش داده شده به نیم‌تغییرنامی ضریب K و b رابطه کوستیاکوف را بهترتب کروی و نمایی گزارش کردند. همچنین، آنان بهترین مدل برازش داده شده به نیم‌تغییرنامی ضریب‌های S و A رابطه فیلیپ را بهترتب کروی و نمایی گزارش کردند که تنها از نظر بهترین مدل برازش داده شده به ضریب K رابطه کوستیاکوف با یافته‌های این پژوهش هم‌خوانی داشت و در سایر موارد با نتایج این پژوهش هم‌خوانی نداشت. همچنین، Ghorbani Dashtaki et al. (2010) بهترین مدل برازش داده شده به نیم‌تغییرنامی ضریب جذب آب به خاک (ضریب S) را در یک خاک مرتعی در منطقه نثار تنگ بن از توابع شهرکرد کروی گزارش کردند که احتمالاً به دلیل تفاوت در شرایط خاک‌های مورد مطالعه با یافته‌های این پژوهش هم‌خوانی نداشت. با توجه به پژوهشی که Moosavi and Sepaskhah (2012) انجام دادند بهترین مدل برازش یافته به نیم‌تغییرنامی ضریب جذب آب خاک اندازه‌گیری شده در مکش‌های مختلف در خاک‌های آهکی منطقه باجگاه شیراز را از نوع نمایی و کروی گزارش کردند که تا حدودی با یافته‌های این پژوهش هم‌خوانی دارد.

نتایج نشان داد کمترین سقف در بین ضریب‌های نفوذ مورد مطالعه مربوط به ضریب C رابطه هورتون و بیشترین سقف مربوط به ضریب "a" رابطه سازمان حفاظت خاک آمریکا بوده است که نشان دهنده تصادفی بودن یا بدون ساختار بودن ضریب "a" یا واریانس کل تمام نمونه‌های است که در محاسبه نیم‌تغییرنامی آن به کار گرفته شده‌اند. دامنه تغییرات سقف در بین ضریب‌های نفوذ مورد مطالعه بهترتب از ۰/۰۰۰۱۰ تا ۰/۰۰۹۰۰

Cambardella et al. (1994) کلاس وابستگی مکانی همه ضریب رابطه‌های نفوذ مورد مطالعه متوسط تعیین شد و کلاس وابستگی مکانی قوی در هیچ یک از ضریب رابطه‌های نفوذ مشاهده نشد. درحالی که Karami et al. (2012) گزارش کردند کلاس ساختار مکانی ضریب‌های K رابطه کوستیاکوف و S و A رابطه فیلیپ را قوی گزارش نمودند البته آن‌ها مشابه نتایج این پژوهش کلاس وابستگی مکانی ضریب b رابطه کوستیاکوف را متوسط گزارش نمودند. در پژوهشی Cambardella et al. (1994) بیان کردند که ساختار مکانی قوی ناشی از اثر عامل‌های ذاتی خاک است و علی‌رغم این‌که نقاط آزمایش مورد مطالعه در یک خاک واقع شده بودند که از نظر عوامل ذاتی و پیدایش خاک تا حدود بسیار زیادی یکسان بودند، ولی احتمالاً به دلیل اثرات ناشی از عوامل بیرونی مانند پوشش‌گیاهی و غیره ساختار مکانی قوی برای ضریب رابطه‌های نفوذ مطالعه مشاهده نشد (جدول ۴) و کلاس وابستگی مکانی از قوی به متوسط تنزل یافته است. به عبارتی تأثیر عوامل بیرونی بر ساختار مکانی این ویژگی‌ها بیشتر از تأثیر عوامل ذاتی مؤثر بر ساختار مکانی بوده است.

(2012) شعاع تأثیر مدل‌های برآش یافته به نیم‌تغییرنما ضریب جذب آب خاک اندازه‌گیری شده در مکش‌های مختلف در خاک‌های آهکی منطقه باجگاه شیراز را حدود ۱۳ تا ۱۰۲ متر گزارش کردند که تا حدود زیادی با یافته‌های این پژوهش همخوانی دارد.

نتایج ضریب‌های نفوذ نشان داد که بیشترین نسبت اثر قطعه‌ای به سقف به مقدار ۶۴۸ مربوط به ضریب "a" رابطه سازمان حفاظت خاک آمریکا بود که نشان می‌دهد از کل تغییرات مربوط به این ضریب  $\frac{35}{2}$  درصد دارای ساختار مکانی بوده درحالی که ۶۴/۸ درصد از تغییرات این ویژگی تصادفی و بدون ساختار مکانی مشخص بوده است. کمترین نسبت اثر قطعه‌ای به سقف به مقدار ۵ مربوط به ضریب "b" رابطه سازمان حفاظت خاک آمریکا، ضریب‌های C و a رابطه هورتون، ضریب S رابطه فیلیپ و ضریب b رابطه کوستیاکوف بود که نشان می‌دهد ۵۰ درصد از کل تغییرات مربوط به این ویژگی‌ها تصادفی و بدون ساختار مکانی بوده و ۵۰ درصد غیرتصادفی و دارای ساختار مکانی است. با توجه به مقدار نسبت اثر قطعه‌ای به سقف نیم‌تغییرنما و بر اساس الگوی پیشنهاد شده توسط

جدول ۲- خلاصه آمار توصیفی داده‌های مربوط به ضریب‌های رابطه‌های نفوذ اندازه‌گیری شده قبل از تبدیل توزیع داده‌ها به توزیع نرمال

Table 2- Summary of the descriptive statistics of the data related to the coefficients of the measured infiltration equations before converting the data distribution to a normal distribution

ضریب‌های رابطه سازمان حفاظت خاک آمریکا		ضریب‌های رابطه هورتون			ضریب‌های رابطه کوستیاکوف-لویز			ضریب‌های رابطه کوستیاکوف		ضریب‌های رابطه فلیپ		ویژگی‌های آماری
b''	a''	a	m	c	A'	b'	K'	b	K	A	S	
0.950	0.193	0.216	1.99	0.110	-0.050	0.642	0.573	0.719	0.494	0.087	0.486	میانگین
0.959	0.175	0.225	1.22	0.119	0.050	0.650	0.471	0.685	0.501	0.090	0.476	میانه
0.300	0.095	0.037	0.743	-0.180	-1.17	0.298	0.361	0.608	0.004	0.050	0.349	مد
0.119	0.071	0.092	2.24	0.057	0.240	0.149	0.246	0.243	0.097	0.021	0.082	انحراف معیار
0.014	0.005	0.008	5.03	0.003	0.057	0.022	0.061	0.059	0.009	0.000	0.007	واریانس
-3.45	1.95	0.070	4.36	-3.16	-2.82	-0.022	2.51	6.83	-2.42	0.171	0.631	چولگی
18.0	6.20	-0.491	22.8	13.4	9.61	-0.576	7.48	47.6	12.5	-0.737	0.245	برافراشتگی
0.792	0.405	0.381	14.1	0.346	1.33	0.644	1.30	1.78	0.674	0.083	0.361	دامنه تغییرات
0.300	0.095	0.037	0.743	-0.180	-1.17	0.298	0.361	0.608	0.004	0.050	0.349	حداقل
1.09	0.500	0.419	14.9	0.167	0.153	0.942	1.66	2.38	0.678	0.133	0.710	حداکثر
0.911	0.142	0.135	0.978	0.098	-0.056	0.528	0.436	0.662	0.446	0.068	0.419	چارک اول
1.02	0.218	0.278	2.01	0.141	0.079	0.747	0.597	0.713	0.546	0.099	0.541	چارک سوم
0.108	0.076	0.143	1.03	0.043	0.135	0.219	0.160	0.051	0.100	0.030	0.122	دامنه میان چارک
12.5	36.5	42.6	113	51.8	478	23.2	43.0	33.8	19.7	24.1	16.9	ضریب تغییرات (درصد)
کم	متوسط	متوسط	متوسط	متوسط	متوسط	متوسط	متوسط	متوسط	متوسط	متوسط	متوسط	کلاس تغییریزدیری*

S, b, b', K, A, A', b, a, a'', a''' بدقیقه عبارتند از ضریب جذب آب خاک (سانتی‌متر بر مجدد دقيقه)، معیاری از هدایت هیدرولیکی اشباع (سانتی‌متر بر دقيقه)، ضریب تجربی (۷۹۹ سانتی‌متر بر دقيقه)، ضریب تجربی (۰/۶۴۲ سانتی‌متر بر دقيقه)، ضریب تجربی (بی بعد)، ضریب تجربی (۰/۶۴۲ سانتی‌متر بر دقيقه)، ضریب تجربی (سانتی‌متر بر دقيقه)، ضریب تجربی (سانتی‌متر بر دقيقه)، ضریب تجربی (یک بر دقيقه)، ضریب تجربی (۰/۹۵۰ سانتی‌متر بر دقيقه) و ضریب تجربی (بی بعد).

\* ضریب تغییرات کمتر از ۱۵ درصد، بین ۱۵ تا ۳۵ درصد و بیش تر از ۳۵ درصد باشد کلاس تغییریزدیری بهترین کم، متوسط و زیاد است (Wilding, 1985).

\*\* اگر ضریب تغییرات کمتر از ۱۵ درصد، بین ۱۵ تا ۳۵ درصد و بیش تر از ۳۵ درصد باشد کلاس تغییریزدیری بهترین کم، متوسط و زیاد است (Wilding, 1985).

**جدول ۳- خلاصه آمار توصیفی داده‌های مربوط به ضریب رابطه‌های نفوذ اندازه‌گیری شده پس از تبدیل توزیع داده‌ها به توزیع نرمال**

**Table 3– Summary of the descriptive statistics of the data related to the coefficients of the measured infiltration equations after converting the data distribution to a normal distribution**

ضریب‌های رابطه سازمان حفاظت خاک آمریکا			ضریب‌های رابطه هورتون			ضریب‌های رابطه کوستیاکوف-لویز			ضریب‌های رابطه کوستیاکوف			ضریب‌های رابطه فیلیپ		ویژگی‌های آماری
b''	a''		a	m	c	A'	b'	k'	b	K	A	S		
کاکس باکس	کاکس باکس	-	کاکس باکس	کاکس باکس	کاکس و قدر مطلق	کاکس باکس	کاکس باکس	کاکس باکس	کاکس باکس	کاکس باکس	-	-	نوع تبدیل	
0.871	5.73	0.216	0.786	0.015	4.10	0.296	0.719	4.58	2.08	0.087	0.486	میانگین		
0.847	5.71	0.225	0.817	0.015	4.18	0.301	0.753	4.55	2.05	0.090	0.476	میانه		
0.008	2.00	0.037	0.504	0.000	4.46	0.214	0.558	0.031	2.03	0.050	0.349	مد		
0.283	1.72	0.092	0.234	0.007	0.444	0.060	0.154	1.19	0.170	0.021	0.082	انحراف معیار		
0.080	2.95	0.008	0.055	0.000	0.197	0.004	0.024	1.40	0.029	0.000	0.007	واریانس		
-0.343	0.340	0.070	0.200	-0.094	-0.282	0.382	0.120	0.774	0.086	0.171	0.631	چولگی		
0.592	0.164	0.491	0.924	-0.344	-0.856	0.923	-1.08	3.46	0.398	0.737	0.245	برآفرانشگی		
1.42	8.48	0.381	0.915	0.032	1.74	0.196	0.612	7.26	0.709	0.083	0.361	دامنه تغییرات		
0.008	2.00	0.037	0.431	0.000	3.24	0.181	-1.02	0.031	1.75	0.050	0.349	حداقل		
1.42	10.5	0.419	1.35	0.032	4.98	0.377	0.407	7.30	2.46	0.133	0.710	حداکثر		
0.688	4.58	0.135	0.520	0.010	3.75	0.255	0.829	3.88	1.99	0.068	0.419	چارک اول		
1.08	7.04	0.278	0.982	0.021	4.46	0.347	0.558	5.22	2.17	0.099	0.541	چارک سوم		
0.389	2.46	0.143	0.462	0.010	0.715	0.093	0.272	1.35	0.183	0.030	0.122	دامنه میان چارکی		
32.5	30.0	42.6	29.8	48.3	10.8	20.1	21.4	25.9	8.16	24.1	16.9	ضریب تغییرات (%)		
متوجه	متوجه	زیاد	متوجه	زیاد	کم	متوجه	متوجه	متوجه	کم	متوجه	متوجه	کلاس تغییراتی *		

"...، س. K.A. K' b. A'. C. b. a.m. "فو" b- پر ترتیب عبارتند از ضرب جذب آب خاک (سانتی متر بر بجزور دقیقه)، ضرب ب تحریری (۷۱۹/۰۸- سانتی متر بر دقیقه)، ضرب ب تحریری (۹۵۰/۰۹- سانتی متر بر دقیقه) و ضرب ب تحریری (بی بعد)

\* اگر خوبی تغییرات کمتر از ۱۵ درصد، بین ۱۵ تا ۳۵ درصد و بیشتر از ۳۵ درصد باشد کلاس تغییرپذیری به ترتیب کم، متوسط و زیاد است (Wilding, 1985).

جدول ۴- ضریب‌های بهترین مدل برآش داده شده به نیم تغییرنامی ضریب رابطه‌های نفوذ مورد مطالعه

Table 4- The coefficients of the best-fitted model to the semi-variogram of coefficients of the studied infiltration equations

RSS	R <sup>2</sup>	کلاس و استگی مکانی <sup>۰۰</sup>	نسبت $C_0/C+C_0$	شعاع تأثیر (متر)	سقف (C+C <sub>0</sub> )	اثر قلعه‌ای (C <sub>0</sub> )	مدل	وینگ‌های موردنظر
2.92	0.93	متوسط	0.500	211	0.012	0.006	S	ضریب‌های رابطه فلیپ
2.26	0.43	متوسط	0.501	101	0.001	0.000	A	
3.56	0.99	متوسط	0.569	96.1	0.046	0.020	K	ضریب‌های رابطه
5.44	0.85	متوسط	0.500	101	2.283	1.141	b	کوسنیاکوف
416	0.94	متوسط	0.501	211	0.042	0.021	K'	ضریب‌های رابطه
3.85	0.64	متوسط	0.569	211	0.401	0.173	A'	کوسنیاکوف- لوبیز
4.97	0.56	متوسط	0.501	211	0.005	0.003	b'	
2.32	0.98	متوسط	0.500	200	0.000	0.000	C	ضریب‌های رابطه هورتون
3.33	1.00	متوسط	0.501	176	0.091	0.045	m	
6.41	0.65	متوسط	0.500	211	0.014	0.007	a	
2.46	0.92	متوسط	0.648	185	6.809	2.400	a''	ضریب‌های رابطه سازمان
8.97	0.83	متوسط	0.500	211	0.136	0.068	b''	حفاظت خاک آبرکا

تخمين مربوط به ضریب "a" رابطه سازمان حفاظت خاک آمریکا بود. بیشترین و کمترین مقدار ریشه میانگین مربوط خطای نرمال شده به ترتیب مربوط به تخمين ضریب های C رابطه هورتون و K' رابطه کوستیاکوف-لوییز بود که نشان دهنده این است که بیشترین مقدار بیش برآورده مربوط به ضریب C رابطه هورتون و بیشترین مقدار کم برآورده مربوط به ضریب K' رابطه کوستیاکوف-لوییز بود. بر اساس میانگین هندسی A نسبت خط تخمين گر مورد استفاده برای تخمين ضریب رابطه فیلیپ دقیق ترین تخمين گر و برای تخمين ضریب b' رابطه کوستیاکوف-لوییز دارای بیشترین بیش برآورده و برای تخمين ضریب b رابطه کوستیاکوف دارای بیشترین کم برآورده است. بر اساس کل معیارهای آماری ذکر شده ضریب b رابطه فیلیپ در مقایسه با سایر ضریب رابطه های نفوذ آب به خاک با استفاده از روش وزن دهی عکس فاصله دقیق تر برآورده شده است. همچنین، نتایج نشان داد به طور کلی ضریب b رابطه کوستیاکوف کم و ضریب b' رابطه کوستیاکوف-لوییز زیاد برآورده شدند. در پژوهشی که Sepaskhah et al. (2005) انجام دادند نتایج نشان داد که با تحلیل زمین آماری به شرط وجود ساختار مکانی، کریجینگ از توانایی کافی برای پیش بینی ضریب جذب رابطه فیلیپ برخوردار است که با نتایج این پژوهش همخوانی دارد. در مقایسه کریجینگ ساده و کوکریجینگ برای تخمين شدت نفوذ در مناطقی با داده های محدود نشان داده شد که روش کوکریجینگ بر کریجینگ ساده پرتری دارد (Ersahin, 2003). همچنین،

۳-۳ - تخمین و پنهانه بندی

جدول ۵ روش مناسب برای تخمین ضریب رابطه‌های نفوذ آب به خاک و معیارهای محاسبه شده برای ارزیابی و دقت تخمین را نشان می‌دهد. نتایج نشان داد در تمام ضریب رابطه‌های نفوذ مورد مطالعه (به استثنای ضریب‌های S رابطه فیلیپ، b رابطه کوستیاکوف و<sup>a</sup> b رابطه سازمان حفاظت خاک آمریکا) روش وزن دهی نرمال عکس فاصله با توان یک نسبت به روش کریچینگ معمولی کارایی بهتری در تخمین داشته است. بیشترین ضریب تعیین مربوط به تخمین ضریب A رابطه فیلیپ به دست آمد درحالی که کمترین ضریب تعیین مربوط به تخمین ضریب C رابطه هورتون بود. بنابراین، با در نظر گرفتن این آماره تخمین‌گر استفاده شده برای تخمین ضریب C رابطه هورتون دقت کمتری دارد. بیشترین مقدار میانگین خطای هورتون به ضریب K' رابطه کوستیاکوف-لویز بود باقی‌مانده مربوط به ضریب K رابطه کوستیاکوف-لویز بود درحالی که کمترین مقدار میانگین خطای باقی‌مانده مربوط به تخمین ضریب C رابطه هورتون بود که نشان‌دهنده این است تخمین ضریب K' رابطه کوستیاکوف-لویز دارای بیشترین مقدار بیش برآورده و ضریب C رابطه هورتون دارای بیشترین مقدار کم برآورده است. همچنین، نتایج نشان داد بیشترین مقدار میانگین مربعات خطای مربوط به تخمین ضریب<sup>a</sup> a رابطه سازمان حفاظت خاک آمریکا است، درحالی که کمترین مقدار میانگین مربعات خطای تخمین مربوط به ضریب C رابطه هورتون بود. به عبارتی با در نظر گرفتن این آماره دقیق‌ترین برآورد مربوط به ضریب C رابطه هورتون و کم دقت‌ترین

نفوذ کوستیاکوف در جنوب غربی مشاهده شد درحالی که در شمال منطقه مقدار آن کمتر است. ضریب  $b$  رابطه نفوذ کوستیاکوف دارای بیشترین تغییرپذیری در مرکز منطقه بود و بیشترین مقدار تخمین آن در شرق و کمترین مقدار تخمین آن در مرکز و متمایل به غرب منطقه مشاهده شد. ضریب 'K' رابطه نفوذ لویز-کوستیاکوف دارای بیشترین تغییرپذیری در مرکز و در راستای شمال غرب به جنوب شرقی بود و بیشترین مقدار تخمین آن در شمال غرب بود درحالی که کمترین مقدار تخمین آن در جنوب منطقه مشاهده شد. ضریب ' $b$ ' رابطه نفوذ کوستیاکوف-لویز دارای تغییرپذیری نسبتاً زیاد در مرکز منطقه و بیشترین مقدار تخمین در شمال غرب و کمترین مقدار تخمین در مرکز مایل به جنوب بود. ضریب 'A' رابطه نفوذ کوستیاکوف-لویز دارای تغییرپذیری متوسط در مرکز منطقه و بیشترین مقدار تخمین در شمال غرب و کمترین مقدار تخمین در جنوب غربی بود. ضریب 'C' رابطه نفوذ هورتون دارای تغییرپذیری اندک و نسبتاً یکنواخت بود و بیشترین مقدار تخمین زده شده مربوط به ضریب 'C' رابطه هورتون در شمال غربی مشاهده شد، درحالی که کمترین مقدار تخمین آن در شمال و شرق و جنوب شرقی مشاهده شد.

روش کربجینگ (Sepaskhah, 2012) نیز مناسب‌ترین روش برای تخمین و پهنه‌بندی ضریب جذب آب خاک اندازه‌گیری شده در مکش‌های مختلف در خاک‌های Moosavi and Omidifard (2016) آهکی مورد مطالعه و روش وزن‌دهی معکوس فاصله با توان یک روش مناسب برای تخمین و پهنه‌بندی ضریب جذب آب خاک اندازه‌گیری شده در خاک مورد مطالعه گزارش کردند.

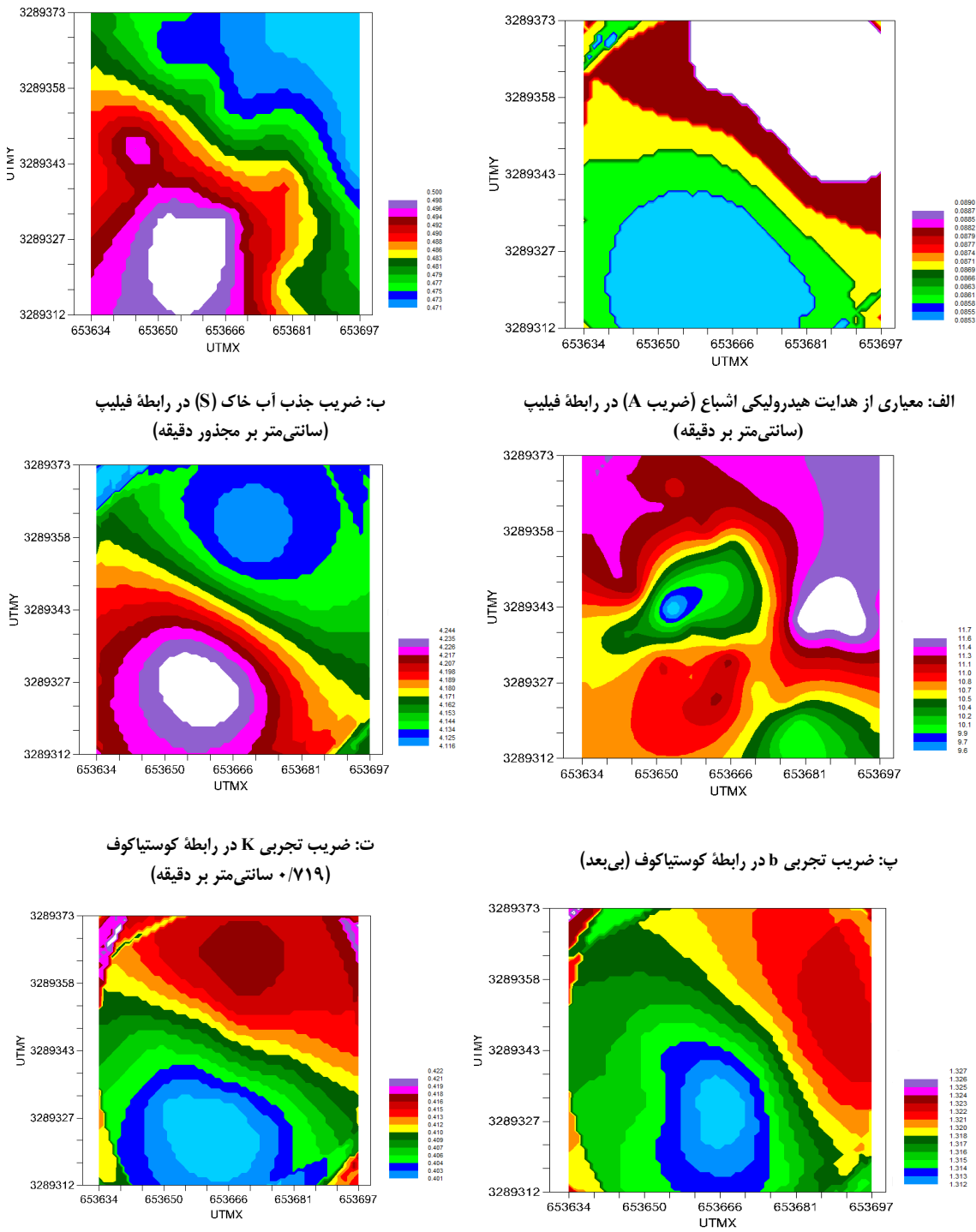
نقشه‌های هم‌مقدار مربوط به ضریب رابطه‌های نفوذ مورد طالعه با استفاده از نتایج روش مناسب تخمین معروف شده در جدول ۵ و شکل ۱ نشان داده شده است. نتایج نشان داد ضریب رابطه نفوذ فیلیپ دارای بیشترین تغییرپذیری در مرکز منطقه S و در راستای شمال غربی به جنوب شرقی است. بیشترین مقدار تخمین آن در جنوب منطقه منطبق با بیشترین مقدار رس و کمترین مقدار آن در شمال شرق و منطبق با کمترین مقدار رس مشاهده شد. ضریب A رابطه فیلیپ دارای تغییرپذیری کم بود و بیشترین مقدار تخمین آن در شمال شرقی و کمترین مقدار تخمین در جنوب بود. ضریب K رابطه کوستیاکوف دارای بیشترین تغییرپذیری در مرکز و در راستای شمال غرب به جنوب شرقی بود و بیشترین مقدار تخمین زده شد ضریب K رابطه

**جدول ۵** - روش مناسب برای تخمین ضریب رابطه های نفوذ آب به خاک و معیارهای محاسبه شده برای ارزیابی دقت تخمین

**Table 5- The appropriate method for estimating the coefficients of the equations of water infiltration into the soil and the calculated criteria for evaluating the accuracy of the estimate**

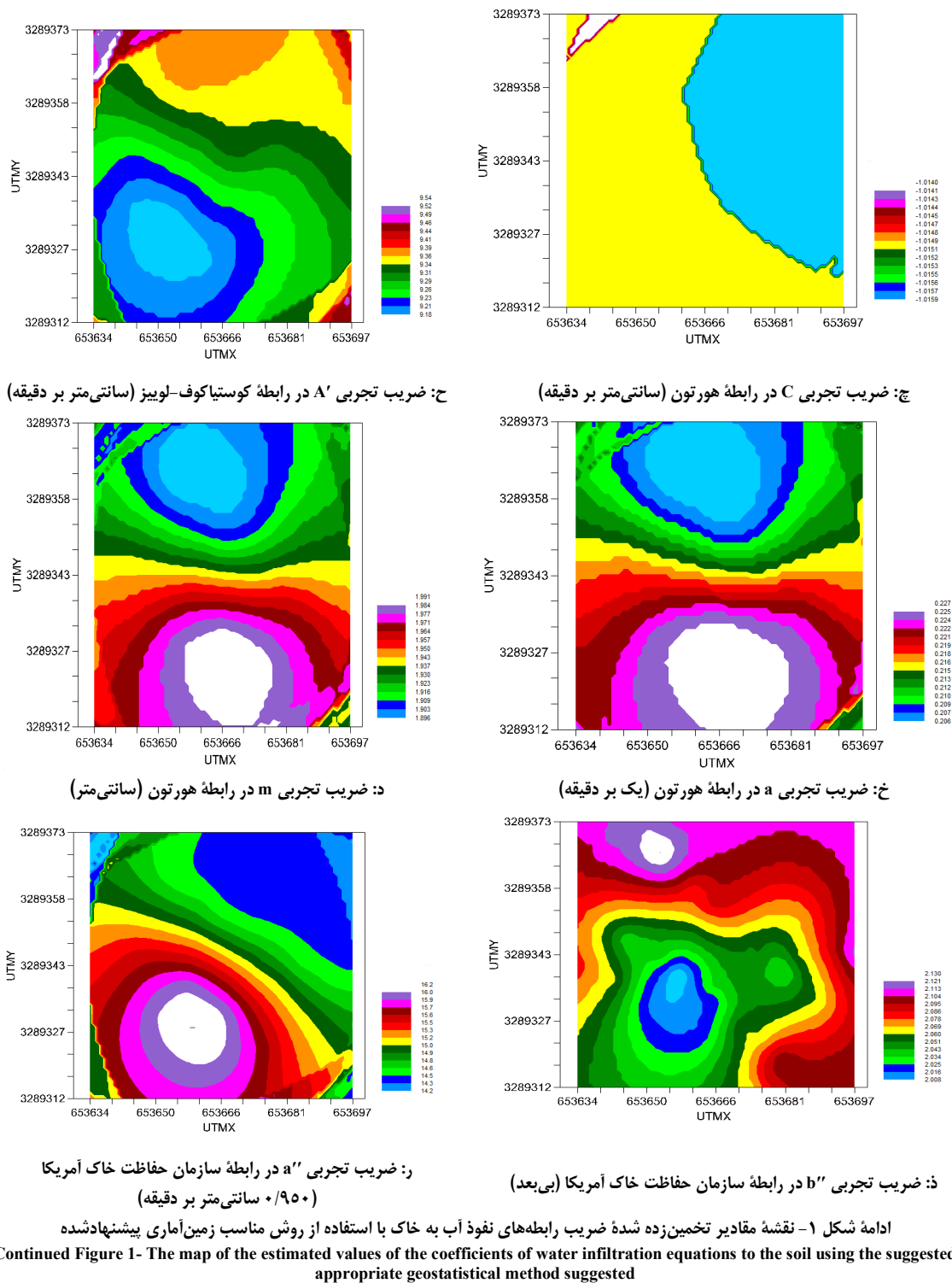
معیارهای ارزیابی دقت تخمین*					روش تخمین مناسب	ضریب	ویژگی‌های مورد مطالعه <sup>۰۰</sup>
GMER	NRMSE	MSE	MRE	R <sup>۲</sup>			
0.989	0.164	0.006	-0.001	0.333	کربیجنگ معمولی	S	ضریب‌های رابطه فیلیپ
1.00	0.232	0.000	-0.024	0.519	وزن‌دهی نرمال عکس فاصله با توان یک	A	ضریب‌های رابطه کوستیاکوف
0.995	0.088	0.033	0.002	0.516	وزن‌دهی نرمال عکس فاصله با توان یک	K	ضریب‌های رابطه کوستیاکوف
0.899	0.283	1.71	-0.012	0.445	کربیجنگ معمولی	b	ضریب‌های رابطه کوستیاکوف-لویز
0.967	-0.199	0.020	0.016	0.402	وزن‌دهی نرمال عکس فاصله با توان یک	K'	ضریب‌های رابطه کوستیاکوف-لویز
1.02	0.184	0.003	-0.035	0.514	وزن‌دهی نرمال عکس فاصله با توان یک	b'	ضریب‌های رابطه کوستیاکوف-لویز
1.01	0.106	0.195	-0.018	0.436	وزن‌دهی نرمال عکس فاصله با توان یک	A'	ضریب‌های رابطه هورتون
0.962	0.450	5.24	-0.048	0.274	وزن‌دهی نرمال عکس فاصله با توان یک	C	ضریب‌های رابطه سازمان حفاظت خاک
0.983	0.308	0.063	-0.026	0.480	وزن‌دهی نرمال عکس فاصله با توان یک	m	آمریکا
0.941	0.392	0.008	-0.018	0.518	وزن‌دهی نرمال عکس فاصله با توان یک	a	
0.972	0.307	3.31	-0.018	0.501	وزن‌دهی نرمال عکس فاصله با توان یک	a''	
0.976	0.320	0.081	-0.025	0.506	کربیجنگ معمولی	b''	

GMER، NRMSE، MRE و  $R^{**}$  به ترتیب از ضریب تعیین، میانگین خطای نرمال شده و میانگین هندسی نسبت خطای باقی مانده، میانگین مریعات خطای نرمال شده و میانگین سانتی مترا بر دقيقه، ضریب تحریری (یک بعد)، ضریب تحریری (یک بعد) ضریب تحریری (سانتی مترا بر دقيقه)، ضریب تحریری (یک بعد) ضریب تحریری (سانتی مترا بر دقيقه)، ضریب تحریری (یک بزرگتر)، ضریب تحریری (یک بزرگتر) ضریب تحریری (سانتی مترا بر دقيقه) و ضریب تحریری (یک بعد).



شکل ۱- نقشه مقدار تخمین‌زده شده ضریب رابطه‌های نفوذ آب به خاک با استفاده از روش مناسب زمین‌آماری پیشنهاد شده

Figure 1- The map of the estimated values of the coefficients of water infiltration equations to the soil using the suggested appropriate geostatistical method



د: ضریب تجربی ''a'' در رابطه سازمان حفاظت خاک آمریکا  
(بعد ۰/۹۵۰ سانتی‌متر بر دقیقه)

ادامه شکل ۱ - نقشه مقادیر تخمین‌زده شده ضریب رابطه‌های نفوذ آب به خاک با استفاده از روش مناسب زمین‌آماری پیشنهادشده  
Continued Figure 1- The map of the estimated values of the coefficients of water infiltration equations to the soil using the suggested appropriate geostatistical method suggested

تغییرپذیری در مرکز منطقه و در راستای شمال به جنوب و بیشترین مقدار تخمین در جنوب و کمترین مقدار تخمین در شمال منطقه بود. ضریب ''a'' رابطه سازمان حفاظت خاک آمریکا دارای بیشترین تغییرپذیری در راستای شمال به جنوب و بیشترین تغییرپذیری در

ضریب m رابطه نفوذ هورتون دارای بیشترین تغییرپذیری در مرکز و در راستای شرقی- غربی بود و بیشترین مقدار تخمین آن در جنوب و کمترین مقدار تخمین آن در شمال مشاهده شد. ضریب a رابطه نفوذ هورتون تخمین‌زده شده دارای بیشترین

### سپاسگزاری

نویسنده‌گان از دانشگاه شیراز بهسب حمایت‌های مالی در تامین ملزمومات مورد نیاز، سپاسگزاری می‌نمایند.

### تضاد منافع

تضاد منافی وجود ندارد.

### دسترسی به داده‌ها

داده‌های بیشتر می‌تواند از طریق مکاتبه با نویسنده مسئول در اختیار قرار داده شود.

### مشارکت نویسنده‌گان

محمد امیدی‌فرد: انجام آزمایش‌ها، تحلیل و تفسیر داده‌ها، نگارش و ویرایش مقاله؛ سید علی اکبر موسوی: ایده و طراحی آزمایش‌ها، نظارت بر پروژه، تحلیل و تفسیر داده‌ها، تهیه مواد و تجهیزات آزمایش‌ابزارهای تحلیل، نگارش و ویرایش مقاله؛ عبدالمحیجی ثامنی: ایده و طراحی آزمایش‌ها، تهیه مواد و تجهیزات آزمایش، ویرایش مقاله.

### منابع

ابطحی، سید علی، کریمیان، نجفعلی، و صلحی، محمد (۱۳۷۰). گزارش مطالعات خاکشناسی نیمه‌تفضیلی اراضی با جگاه، استان فارس. بخش علوم خاک، دانشکده کشاورزی، دانشگاه شیراز. ۷۳صفحه.

ثامنی، عبدالمحیجی، پاکجو، مرتفعی، موسوی، سید علی اکبر و کامگار حقیقی، علی اکبر. (۱۳۹۵). تعیین ضرایب برخی مدل‌های نفوذ آب در دو خاک آهکی منطقه با جگاه در استان فارس. داش آب و خاک، (۳)، ۱۷۱-۱۸۳. [https://water.tabrizu.ac.ir/article\\_5847.html?lang=en](https://water.tabrizu.ac.ir/article_5847.html?lang=en) ثامنی، عبدالمحیجی، پاکجو، مرتضی، موسوی، سید علی اکبر و کامگار حقیقی، علی اکبر. (۱۳۹۳). ارزیابی چند رابطه نفوذ آب به خاک با کاربرد آب‌های شور و سدیمی. پژوهش آب در کشاورزی، (۲)، ۳۹۵-۴۰۸. doi:10.22092/jwra.2014.100040

جعفرزاده، مریم‌السادات و ویس کرمی، ایرج. (۱۴۰۱). ارزیابی کارایی مدل‌های فردی و ترکیبی در شناسایی پهنه‌های مستعد نفوذپذیری. مدل‌سازی و مدیریت آب و خاک، (۲)، ۶۹-۸۶. doi:10.22098/MMWS.2022.9809.1066

علیزاده، امین (۱۳۹۴). فیزیک خاک. انتشارات دانشگاه امام رضا (ع).

۴۳۸صفحه.

فخار، محدث‌سادات و نظری، بیژن. (۱۴۰۱). ارزیابی و صحبت‌سنجی شاخص‌های پایش شوری در دشت قزوین. مدل‌سازی و مدیریت آب و خاک، (۸)، ۱۰۷۷-۵۱-۴۰.

doi:10.22098/mmws.2022.10142.1077

شمال شرق به جنوب‌غرب و بیشترین مقدار تخمین در جنوب‌غربی و کمترین مقدار تخمین در شمال شرق بود. ضریب "b" رابطه سازمان حفاظت خاک آمریکا دارای تغییرپذیری زیاد در کل منطقه و بیشترین مقدار تخمین در شمال غربی و کمترین مقدار تخمین در مرکز منطقه بود. به طور کلی می‌توان گفت اکثر ضریب رابطه‌های نفوذ آب به خاک دارای بیشترین تغییرپذیری در مرکز منطقه مورد مطالعه بودند که احتمالاً به دلیل تغییرپذیری بیشتر عوامل و سایر ویژگی‌های فیزیک‌شیمیایی موثر بر ضریب‌های مختلف نفوذ مورد مطالعه است.

### ۴- نتیجه‌گیری

بررسی نفوذ آب به خاک با استفاده از منحنی‌های نفوذ و عمدتاً رابطه‌های نفوذ انجام می‌شود. نفوذ آب به خاک و ضریب رابطه‌های نفوذ نیز همانند سایر ویژگی‌های خاک به نوع و شرایط خاک وابسته است و دارای تغییرات مکانی و زمانی است. در این پژوهش تغییرات مکانی ضریب رابطه‌های مختلف نفوذ بررسی و مدل‌سازی شد و با استفاده از نتایج حاصل از بهترین مدل، تخمین و پهنگ‌بندی انجام شد. نتایج نشان داد کلاس وابستگی مکانی ضریب رابطه‌های نفوذ در منطقه مورد مطالعه متوسط است و هم‌چنین، بیشترین و کمترین شاعر تأثیر به مقدار ۲۱۱ و ۶/۴ متر بهترین مربوط به ضریب "s" رابطه فیلیپ و ضریب‌های رابطه کوستیاکوف-لویز و ضریب "a" هورتون و ضریب "b" رابطه سازمان حفاظت خاک آمریکا است. به طور کلی پیشنهاد می‌شود در مواردی که به نقشه ضریب رابطه‌های نفوذ آب به خاک و یا مقدار این ضریب‌های در نقاط زیاد نیاز باشد با استفاده از روش‌های زمین‌آماری و اندازه‌گیری‌های محدود، ضریب‌های با دقت قابل قبول برآورد و در وقت و هزینه‌ها صرفه‌جویی شود. البته همان‌گونه که نتایج نشان داد در منطقه مورد مطالعه بدليل ساختار مکانی ضعیف و نامناسب، در برخی موارد روش وزن‌دهی عکس فاصله در مقایسه با روش کریجینگ مناسب‌تر بوده و استفاده از آن می‌تواند به تخمین‌های دقیق‌تری منجر شود به علاوه این که دقیق‌ترین و کم دقت‌ترین تخمین‌ها بهترین مربوط به ضریب "A" رابطه فیلیپ و "b" رابطه کوستیاکوف و "b'" رابطه کوستیاکوف-لویز هستند. بنابراین، در مواردی که ساختار مکانی ویژگی مورد نظر ضعیف و نامناسب است بهتر است از روش کریجینگ یا سایر روش‌های مشابه که متکی به همبستگی و ساختار مکانی قوی هستند استفاده نشود و پیشنهاد می‌شود در این زمینه از سایر روش‌های تخمین جایگزین که وابسته به وجود ساختار مکانی قوی و مناسب در داده‌ها نیستند (مانند روش‌های وزن‌دهی عکس فاصله) استفاده شود.

- بهاره، مدل‌سازی و مدیریت آب و خاک، ۳(۲)، ۳۶-۴۹. doi:10.22098/mmws.2022.11226.1108
- موسوی، سید علی اکبر و امبدی‌فرد، محمد (۱۳۹۵). تغییرات مکانی و تخمین زمین‌آماری برخی ضرایب هیدرولیکی در یک خاک آهکی. آب و خاک، ۳۰(۳)، ۷۳۰-۷۴۲. doi:10.22067/jsw.v30i3.43438
- موسوی، سید علی اکبر و سپاسخواه، علیرضا (۱۳۹۰). بررسی زمین‌آماری تغییرات مکانی هدایت هیدرولیکی نزدیک به اشیاع خاک در مکش‌های مختلف. مجموعه مقالات دوازدهمین کنگره علوم خاک ایران، دانشگاه تبریز.

## References

- Abtahi, A., Karimian, N., & Solhi, M. (1992) Semi quantified soil science report of Badjeh, Fars Province. Department of Soil Science, College of Agriculture, Shiraz University, Shiraz, Iran, 73 pages. [In Persian]
- Alemi, M.H., Shahriari, M.R., & Nielson, D.R. (1988). Kriging and co-kriging of soil water properties. *Soil Technology*, 1, 117-132. doi:10.1016/S0933-3630(88)80014-X
- Alizadeh, A. (2015). *Soil Physics*. Emam Reza University Press, 438 pages. [In Persian]
- Babaei, F., Zolfaghari, A.A., Yazdani, M.R., & Sadeghipour, A. (2018). Spatial analysis of infiltration in agricultural lands in arid areas of Iran. *Catena*, 170, 25-35. doi:10.1016/j.catena.2018.05.039
- Bakhshandeh, E., Hossieni, M., Zeraatpisheh, M., & Francaviglia, R. (2019). Land use change effects on soil quality and biological fertility: A case study in northern Iran. *European Journal of Soil Biology*, 95, 103119. doi:10.1016/j.ejsobi.2019.103119
- Bouma, J. (1983). Use of soil survey data to select measurement techniques for hydraulic conductivity. *Agricultural Water Management*, 6, 177-190. doi:10.1016/0378-3774(83)900
- Cambardella, C.A., Moorman, T.B., Novak, J.M., Parkin, T.B., Karlen, D.L., Turco, R.F., & Konopka, A.E.. (1994). Field-scale variability of soil properties in central Iowa soils. *Soil Science Society of America Journal*, 58, 1501-1511. doi:10.2136/sssaj1994.0361599500580005003x
- Dahak, A., Boutaghane, H., & Merabtene, T. (2022). Parameter estimation and assessment of infiltration models for Madjez Ressoul catchment, Algeria. *Water*, 14(8), 1185. doi:10.3390/w14081185
- Ersahin, S. (2003). Comparing ordinary kriging and cokriging to estimate infiltration rate. *Soil* قربانی دشتکی، شجاع، همایی، مهدی و مهدیان، محمدمحسن (۱۳۸۹). تأثیر تغییر کاربری اراضی بر تغییرات مکانی پارامترهای نفوذ آب به خاک. آبیاری و زهکشی ایران، ۲(۴)، ۶-۲۲۱. <https://www.magiran.com/paper/808923>
- کرمی، علی، همایی، مهدی، بای بوردی، محمد، محمودیان شوستری، محمد و دوات‌گر ناصر (۱۳۹۱). پراکنش مکانی پارامترهای نفوذ آب به خاک در مقیاس ناحیه‌ای. دانش آب و خاک، ۱۷-۳۱. [https://water-soil.tabrizu.ac.ir/article\\_1062.html](https://water-soil.tabrizu.ac.ir/article_1062.html)
- کمانگر، محمد، و مینائی، مسعود (۱۴۰۲). تحلیل مکانی ناهنجاری تغییرات شوری خاک استان فارس در اثر بارش‌های سنگین *Science Society of America Journal*, 67, 1848-1855. doi:10.2136/sssaj2003.1848
- Fakher, M.S., & Nazari, B. (2022). Evaluation and validation of salinity monitoring indices in the Qazvin plain. *Water and Soil Management and Modeling*, 2(3), 40-51. doi:10.22098/mmws.2022.10142.1077 [In Persian]
- Ghorbani Dashtaki, S., Homaei, M., & Mahdian, M. (2010). Effect of land use change on spatial variability of coefficient of infiltration into soil. *Iranian Journal of Irrigation and Drainage*, 4(2), 206-221. [In Persian]
- Ghorbani Dashtaki, S., Homaei, M., Mahdian, M. H., & Kouchakzadeh, M. (2009). Site-dependence performance of infiltration models. *Water Resource Management*, 23, 1573-1650.
- Ghosh, B., & Pekkat, S. (2019). A critical evaluation of measurement-induced variability in infiltration characteristics for a river sub-catchment. *Measurement*, 132, 47-59. doi:10.1016/j.measurement.2018.09.018
- Govindaraju, R.S., Koelliker, J.K., Banks, M.K., & Schwab, A.P. (1996). Comparison of spatial variability of infiltration properties at two sites in Konza prairie of East-Central Kansas. *Journal of Hydrologic Engineering*, 1(3), 131-138. doi:10.1061/(ASCE)1084%2D0699(1996)1%3A3(131).
- Green, W.H., & Ampt, G. (1911). Studies of soil physics, Part 1. The flow of air and water through soils. *Journal of Agricultural Science*, 4, 1-24. doi:10.1017/S0021859600001441
- Gupta, N., Rudra, R.P., & Parkin, G. (2006). Analysis of spatial variability of hydraulic conductivity at field scale. *Canadian Biosystems Engineering*, 48, 55-62.
- Gupta, R.K., Rudra, R.P., Dickinson, W.T., & Elrick, D.E. (1994). Modelling spatial pattern of three infiltration parameter. *Canadian Journal of Agricultural Engineering*, 36, 9-13.

- Holtan, H.N. (1961). A concept of infiltration estimates in watershed engineering. ARS41-51, U.S. Department of Agricultural Service, Washington, DC.
- Horton, R.E. (1940). An approach toward a physical interpretation of infiltration-capacity. *Soil Science Society of America Proceedings*, 5, 399-417. doi:10.2136/sssaj1941.036159950005000C0075x
- Iqbal, J., Thomasson, J.A., Jenkins, J.N., Owens, P.R., & Whisler, F.D. (2005). Spatial variability analysis of soil physical properties of alluvial soils. *Soil Science Society of America Journal*, 69, 1338-1350. doi:10.2136/sssaj2004.0154
- Jafarzadeh, M.S., & Vayskarami, I. (2022). Assessing the performance of individual and ensembled models in identifying areas with infiltration potential. *Water and Soil Management and Modeling*, 2(2), 69-86. doi:10.22098/MMWS.2022.9809.1066 [In Persian]
- Jensen, M.E., Swarner, L.R., & Phelan J.T. (1987). Improving irrigation efficiencies. Pp. 1120-1142 In: Hagan, R.M., H.R. Haise, T. W. Edminster (Eds.). Irrigation of Agricultural Lands. Agron Monogr II, ASA and SSSA. Madison, WI.
- Kamangar, M., & Minaei, M. (2023). Spatial analysis of soil salinity anomaly in Fars Province due to the heavy spring rains. *Water and Soil Management and Modeling*, 3(2), 36-49. doi:10.22098/mmws.2022.11226.1108 [In Persian]
- Karami, A., Homaee, M., Bybourdi, M., Mahmoodian Shushtari, M., & Davatgar, N. (2012). Spatial distribution of infiltration parameters at regional scale. *Water and Soil Science*, 22(1), 17-32. [In Persian]
- Klute, A. (1965). Laboratory measurement of hydraulic conductivity of unsaturated soil. Chapter 16. In: Agronomy Monographs, doi:10.2134/agronmonogr9.1.c16
- Kostiakov, A.N. (1932). On the dynamics of the coefficient of water-percolation in soils and on the necessity for studying it from a dynamic point of view for purposes of amelioration. 6<sup>th</sup> Transactions Congress International Society for Soil Science, , Moscow, Part A, Pp.17-21.
- Lei, G., Fan, G., Zeng, W., & Huang, J. (2020). Estimating parameters for the Kostiakov-Lewis infiltration model from soil physical properties. *Journal of Soils and Sediments*, 20, 166-180. doi:10.1007/s11368-019-02332-4
- Machiwal, D., Jha, M.K., & Mal, B.C. (2006). Modelling infiltration and quantifying spatial soil variability in a wasteland of Kharagpur, India. *Biosystems Engineering*, 95(4), 569-582. doi:10.1016/j.biosystemseng.2006.08.007
- Mahapatra, S., Jha, M.K., Biswal, S., & Senapati, D. (2020). Assessing variability of infiltration characteristics and reliability of infiltration models in a tropical sub-humid region of India. *Scientific Reports*, 10, 1515. doi:10.1038/s41598-020-58333-8
- Mallants, D., Mohanty, B.P., Vervoort, A., & Feyen, J. (1997). Spatial analysis of saturated hydraulic conductivity in a soil with macropores. *Soil Technology*, 10, 115-131. doi:10.1016/S0933-3630(96)00093-1
- Mezencev, V.J. (1948). Theory of formation of the surface runoff. *Meteorologiae Hidrologia*, 3, 33-40.
- Moosavi, A.A. & Omidifard, M., (2016). Spatial variability and geostatistical prediction of some soil hydraulic coefficients of a calcareous soil. *Journal of Water and Soil (Agricultural Science and Technology)*, 30(3), 730-742. doi:10.22067/JSW.V30I3.43438. [In Persian]
- Moosavi, A.A., & Sepaskhah, A.R. (2011). Geostatistical investigation of spatial variability of near saturated hydraulic conductivity measured at different applied tensions. 12<sup>th</sup> Iranian Soil Science Congress, Tabriz University, Tabriz, Iran, Pp. 1-5. [In Persian]
- Moosavi, A.A., & Sepaskhah, A.R. (2012). Spatial variability of physico-chemical properties and hydraulic characteristics of a gravelly calcareous soil. *Archives of Agronomy and Soil Science*, 58, 631-656. doi:10.1080/03650340.2010.533659
- Moosavi, A.A., Dehghani, S., & Sameni, A. (2016). Spatial variability of plant-available micronutrients in the surface and subsurface layers of a calcareous soil. *Thai Journal of Agricultural Science*, 48, 165-178
- Moradi, F., Moosavi, A.A., & Khalili Moghaddam, B. (2016). Spatial variability of water retention parameters and saturated hydraulic conductivity in a calcareous Inceptisols (Khuzestan province of Iran) under sugarcane cropping. *Archives of Agronomy and Soil Science*, 62, 1686-1699. doi:10.1080/03650340.2016.1164308
- Mozaffari, H., Moosavi, A.A., & Sepaskhah, A.R. (2021). Land use-dependent variation of near-saturated and saturated hydraulic properties in calcareous soils. *Environmental Earth*

- Sciences*, 80(23), 769. doi:10.1007/s12665-021-10078-x
- Mozaffari, H., Moosavi, A.A., Sepaskhah, A.R., & Cornelis, W. (2022). Long-term effects of land use type and management on sorptivity, macroscopic capillary length and water-conducting porosity of calcareous soils. *Arid Land Research and Management*, 36, 371-397. doi:10.1080/15324982.2022.2066582
- Nie, W., Ma, X., & Fei, L. (2017). Evaluation of infiltration models and variability of soil infiltration properties at multiple scales. *Irrigation and Drainage*, 66(4), 589-599. doi:10.1002/ird.2126
- Oku, E., & Aiyelari, A. (2011). Predictability of Philip and Kostiakov infiltration models under inceptisols in the humid forest zone, Nigeria. *Agriculture and Natural Resources*, 45(4), 594-602.
- Philip, J.R. (1957). The theory of infiltration: 1. The infiltration equation and its solutions. *Soil Science*, 83, 345–358.
- Rasool, T., Dar, A.Q., & Wani, M.A. (2021). Comparative evaluation of infiltration models under different land covers. *Water Resources*, 48, 624-634. doi:10.1134/S0097807821040175
- Rawls, W.J., Nemes, A., & Pachepsky, Y. (1992) Effect of soil organic carbon on soil hydraulic properties. In: Development of Pedotransfer Functions in Soil Hydrology, (Eds). Ya Pachepsky and WJ Rawls),
- Reynolds, W.D., & Elrick, D.E. (1990). Ponded infiltration from a single ring: I. Analysis of steady flow. *Soil Science Society of America Journal*, 54, 1233–1241. doi:10.2136/sssaj1990.03615995005400050006x
- Rezaee, L., Moosavi, A.A., Davatgar, N., & Sepaskhah, A.R. (2020a). Soil quality indices of paddy soils in Guilan province of northern Iran: Spatial variability and their influential parameters. *Ecological Indicators*, 117, 106566. doi:10.1016/j.ecolind.2020.106566
- Rezaee, L., Moosavi, A.A., Davatgar, N., & Sepaskhah, A.R. (2020b). Shrinkage-swelling characteristics and plasticity indices of paddy soils: spatial variability and their influential parameters. *Archives of Agronomy and Soil Science*, 66, 2005-2025. doi:10.1080/03650340.2019.1706169
- Rumman, N., Lin, G., & Li, J. (2005). Investigation of GIS-based surface hydrological modeling for identifying infiltration zones in an urban watershed. *Environmental Information Archives*, 3, 315-322.
- Sameni, A., Pakjoo, M., Moosavi, A.A., & Kamkar Haghghi, A.A. (2016). Determining coefficients of some water infiltration models in two calcareous soils of Bajgah region in Fars Province. *Water and Soil Science*, 26(3), 171-183. [https://water-soil.tabrizu.ac.ir/article\\_5847.html?lang=en](https://water-soil.tabrizu.ac.ir/article_5847.html?lang=en) [In Persian]
- Sameni, A., Pakjoo, M., Moosavi, A.A., & Kamkar Haghghi, A.A. (2014). Evaluation of some infiltration equations under application of saline and sodic waters. *Journal of Water Research in Agriculture*, 28(2), 395-408. doi:10.22092/jwra.2014.100040 [In Persian]
- Sepaskhah, A.R., Ahmadi, S.H., & NikbakhtShahbazi, A.R. (2005). Geostatistical analysis of sorptivity for a soil under tilled and notilled conditions. *Soil and Tillage Research*, 83, doi:237-245. 10.1016/j.still.2004.07.019
- Sharma, M.L., Barron, R.J.W., & De Boer, E.S. (1989). Spatial structure and variability of infiltration parameters. *Advances in Infiltration*, 113-121.
- Stone, M. (1974). Cross-validatory choice and assessment of statistical predictions. *Journal of the Royal Statistical Society: Series B (Methodological)*, 36(2), 111-147. doi:10.1111/j.2517-6161.1974.tb00994.x
- Suryoputro, N., Soetopo, W., Suhartanto, E.S., & Limantara, L.M. (2018). Evaluation of infiltration models for mineral soils with different land uses in the tropics. *Journal of Water and Land Development*, 37(IV-VI), 153-160. doi:10.2478/jwld-2018-0034
- Thomas, A.D., Ofosu, A.E., Emmanuel, A., DeGraft, A.J., Ayine, A.G., Asare, A., & Alexander, A. (2020). Comparison and estimation of four infiltration models. *Open Journal of Soil Science*, 10(2), 45-57. doi:10.4236/ojss.2020.102003
- USDA-NRCS, US Department of Agriculture, Natural Resources and Conservation Service (1974). National Engineering Handbook. Section 15. Border Irrigation. National Technical Information Service, Washington, DC, Chapter 4.
- Valiantzas, J.D. (2010). New Linearized two parameter infiltration equation for direct determination of conductivity and sorptivity. *Journal of Hydrology*, 384(1-2), 1-13. doi:10.1016/j.jhydrol.2009.12.049
- Vand, A.S., Sihag, P., Singh, B., & Zand, M. (2018). Comparative evaluation of infiltration

- models. *KSCE Journal of Civil Engineering*, 22, 4173-4184.  
doi:10.1007/s12205-018-1347-1
- Vauclin, M., Vieira, S.R., Vachaud, G., & Nielsen, D.R. (1983). The use of cokriging with limited field observations. *Soil Science Society of America Journal*, 47, 175-184.  
doi:10.2136/sssaj1983.03615995004700020001x
- Vieira, S.R., Nielsen, D.R., & Biggar, J.W. (1981). Spatial variability of field-measured infiltration rate. *Soil Science Society of America Journal*, 47, 175-184.  
doi:10.2136/sssaj1981.03615995004500060007x
- Wilding, L.P. (1985). Spatial variability: its documentation, accommodation and implication to soil surveys. In: Nielsen, D.R., Bouma, J. (Eds.). *Soil Spatial Variability*. Wageningen (The Netherlands): Pudoc. pp. 166–194.
- Youngs, E.G. (1968). An estimation of sorptivity for infiltration studies from moisture conditions. *Soil Science*, 106, 157-163.  
<https://journals.lww.com/soilsci/citation/1968/>
- 09000/an\_estimation\_of\_sorptivity\_for\_infiltration.1.aspx
- Zahedifar, M. (2023a). Assessing alteration of soil quality, degradation, and resistance indices under different land uses through network and factor analysis. *Catena*, 222, 106807-0.  
doi:10.1016/j.catena.2022.106807
- Zahedifar, M. (2023b). Feasibility of fuzzy analytical hierarchy process (FAHP) and fuzzy TOPSIS methods to assess the most sensitive soil attributes against land use change. *Environmental Earth Sciences*, 82, 1-17. doi:10.1007/s12665-023-10934-y
- Zahedifar, M., Dehghani, S., Moosavi, A.A., & Gavil, E. (2017). Temporal variation of total and DTPA-extractable heavy metal contents as influenced by sewage sludge and perlite in a calcareous soil. *Archives of Agronomy and Soil Science*, 63, 136-149.  
doi:10.1080/03650340.2016.1193164